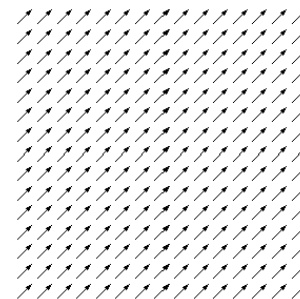


# ニュートリノで探る標準模型を超える新しい物理

新学術領域「宇宙の歴史をひもとく地下素粒子  
原子核研究」研究会5/15-17/2015、神戸大学

Naoyuki Haba (Shimane U, Japan)

波 場



【理論的見地から】

TeV には標準模型を超える  
新しい物理があるだろう。

# Hierarchy problem

量子補正を考慮すると、**Higgs質量は126GeVにとどまらず、大きな質量を持ってしまう。**

# Hierarchy problem

量子補正を考慮すると、**Higgs質量は126GeVにとどまらず、大きな質量を持ってしまう。**

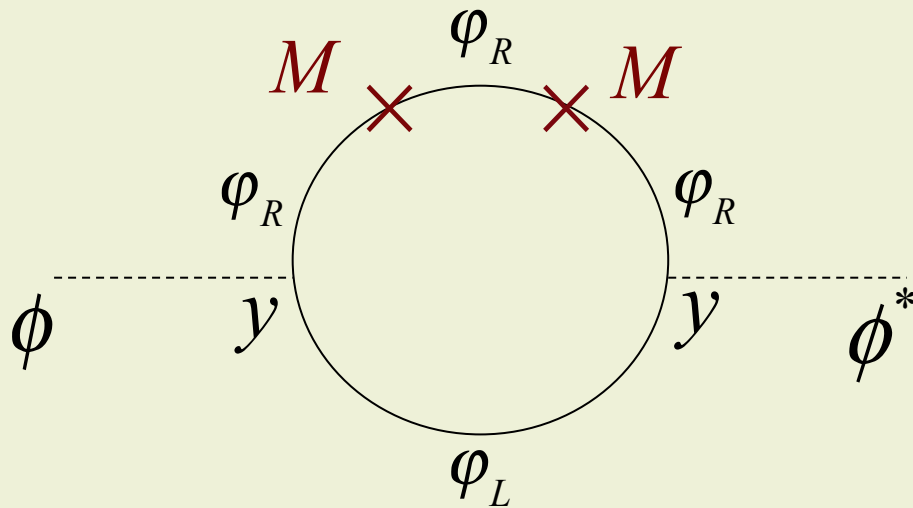
例えば、**Higgs**と相互作用する重い質量**M**を持つ新しい粒子 $\phi$ が**SM**の背後に存在したとしましょう。



# Hierarchy problem

量子補正を考慮すると、**Higgs質量は126GeVにとどまらず、大きな質量を持ってしまう。**

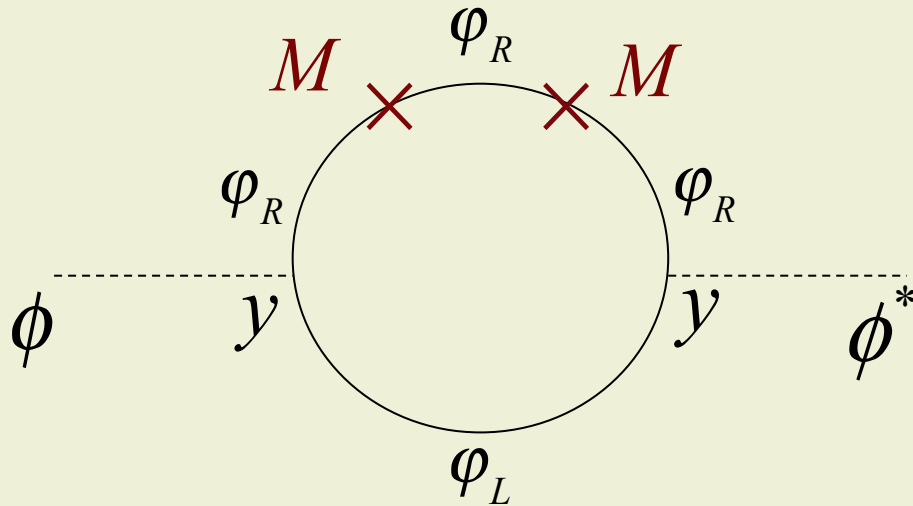
例えば、**Higgs**と相互作用する重い質量**M**を持つ新しい粒子 $\phi$ がSMの背後に存在したとしましょう。



# Hierarchy problem

量子補正を考慮すると、**Higgs質量は126GeVにとどまらず、大きな質量を持ってしまう。**

例えば、**Higgs**と相互作用する重い質量**M**を持つ新しい粒子 $\phi$ がSMの背後に存在したとしましょう。

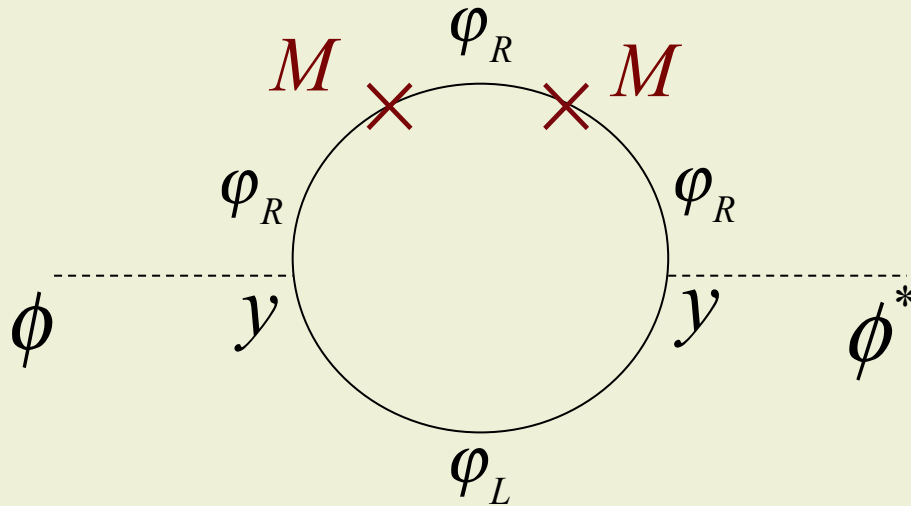


$$\int \frac{d^4 p}{16\pi^2} \left( \frac{i}{p} \right)^4 M_R^2$$
$$\sim -\frac{y^2}{16\pi^2} M^2 \log \Lambda$$

# Hierarchy problem

量子補正を考慮すると、**Higgs質量は126GeVにとどまらず、大きな質量を持ってしまう。**

例えば、**Higgs**と相互作用する重い質量**M**を持つ新しい粒子 $\phi$ がSMの背後に存在したとしましょう。



$$\int \frac{d^4 p}{16\pi^2} \left( \frac{i}{p} \right)^4 M_R^2$$
$$\sim - \frac{y^2}{16\pi^2} M^2 \log \Lambda$$

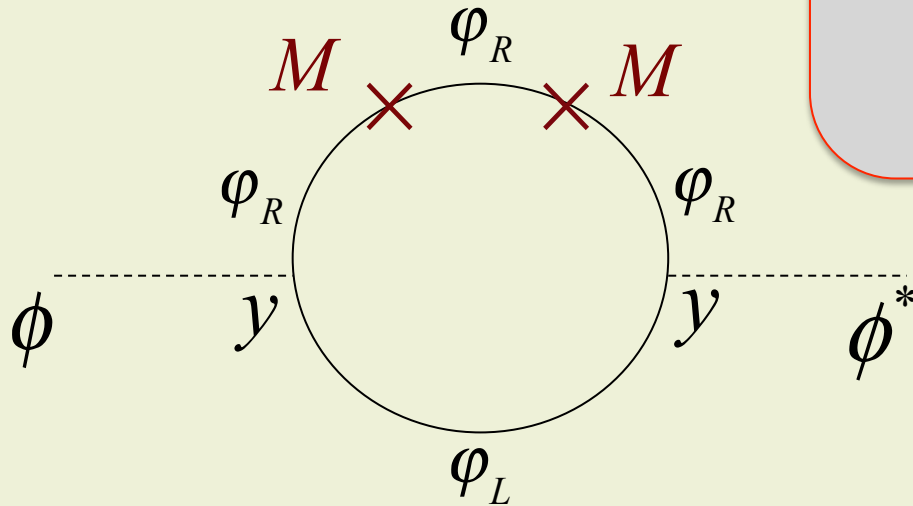
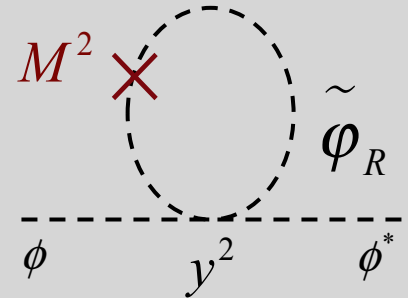
↑  
スキームに依らない物理量  
(2次発散とは違う!)

↓  
**Higgs mass**は、**Mの量子補正**  
をどうしても受けてしまう!

# Hierarchy problem

【解決法1】TeVに新しい理論 (new physics)

✓の量子補正はSUSYがあればキャンセル



$$\sim -\frac{y^2}{16\pi^2} M^2 \log \Lambda$$

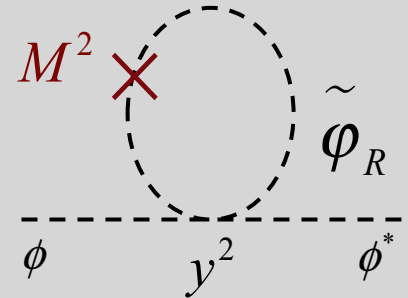
↑  
スキームに依らない物理量  
(2次発散とは違う!)

↓  
Higgs massは, Mの量子補正  
をどうしても受けてしまう!

# Hierarchy problem

【解決法1】TeVに新しい理論 (new physics)

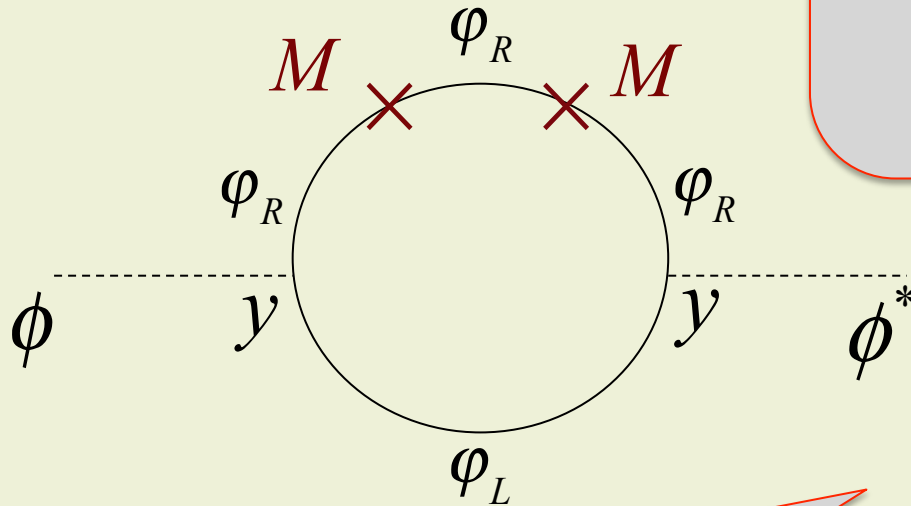
✓の量子補正はSUSYがあればキャンセル



$$\sim -\frac{y^2}{16\pi^2} M^2 \log \Lambda$$

↑  
スキームに依らない物理量  
(2次発散とは違う！)

↓  
Higgs massは、Mの量子補正  
をどうしても受けてしまう！



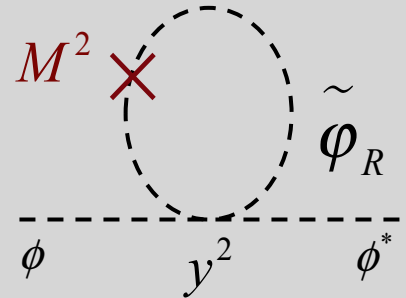
【解決法2】 $M_R$ がTeV。TeVにseesaw, バリオン生成等ほぼ全ての現象論 (new physics)

classical conformal, かつ, 中間スケールが  
(ダイナミカルにですら出てこ)ない理論

# Hierarchy problem

【解決法1】TeVに新しい理論 (new physics)

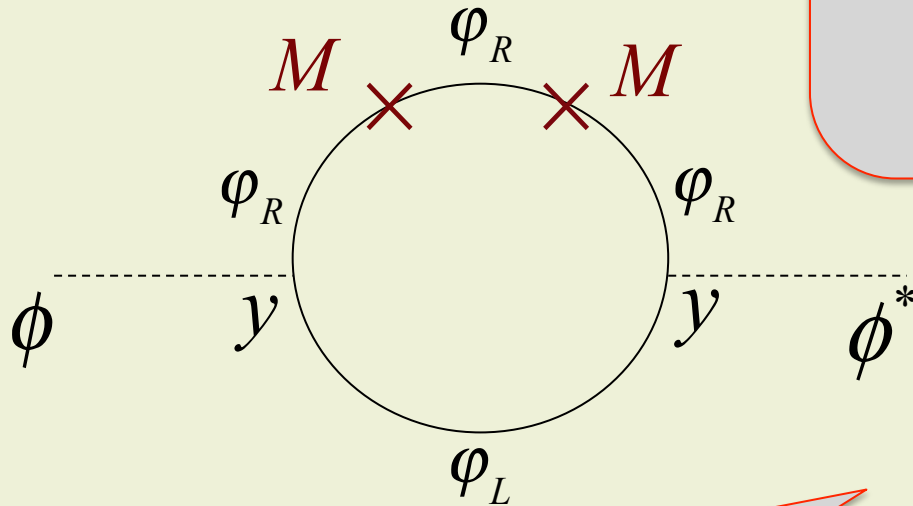
✓の量子補正はSUSYがあればキャンセル



$$\sim -\frac{y^2}{16\pi^2} M^2 \log \Lambda$$

↑  
スキームに依らない物理量  
(2次発散とは違う!)

↓  
Higgs massは、Mの量子補正  
をどうしても受けてしまう!



【解決法2】 $M_R$ がTeV。TeVにseesaw, バリオン生成等ほぼ全ての現象論 (new physics)

classical conformal, かつ, 中間スケールが  
(ダイナミカルにですら出てこ)ない理論

どっちにせよ, TeVにnew physicsがあると考えるのが自然

【理論的見地から】

TeV 辺りに標準模型を超える  
新しい物理があると考えるの  
が自然

**LHC results show...**

**126 GeV Higgs**

**BSM?**  
(beyond the standard model)





An ongoing exciting matches (experiments) are facing a tough defense, and can't get a goal (see physics beyond the Standard Model) yet.



An ongoing exciting matches (experiments) are facing a tough defense, and can't get a goal (see physics beyond the Standard Model) yet.





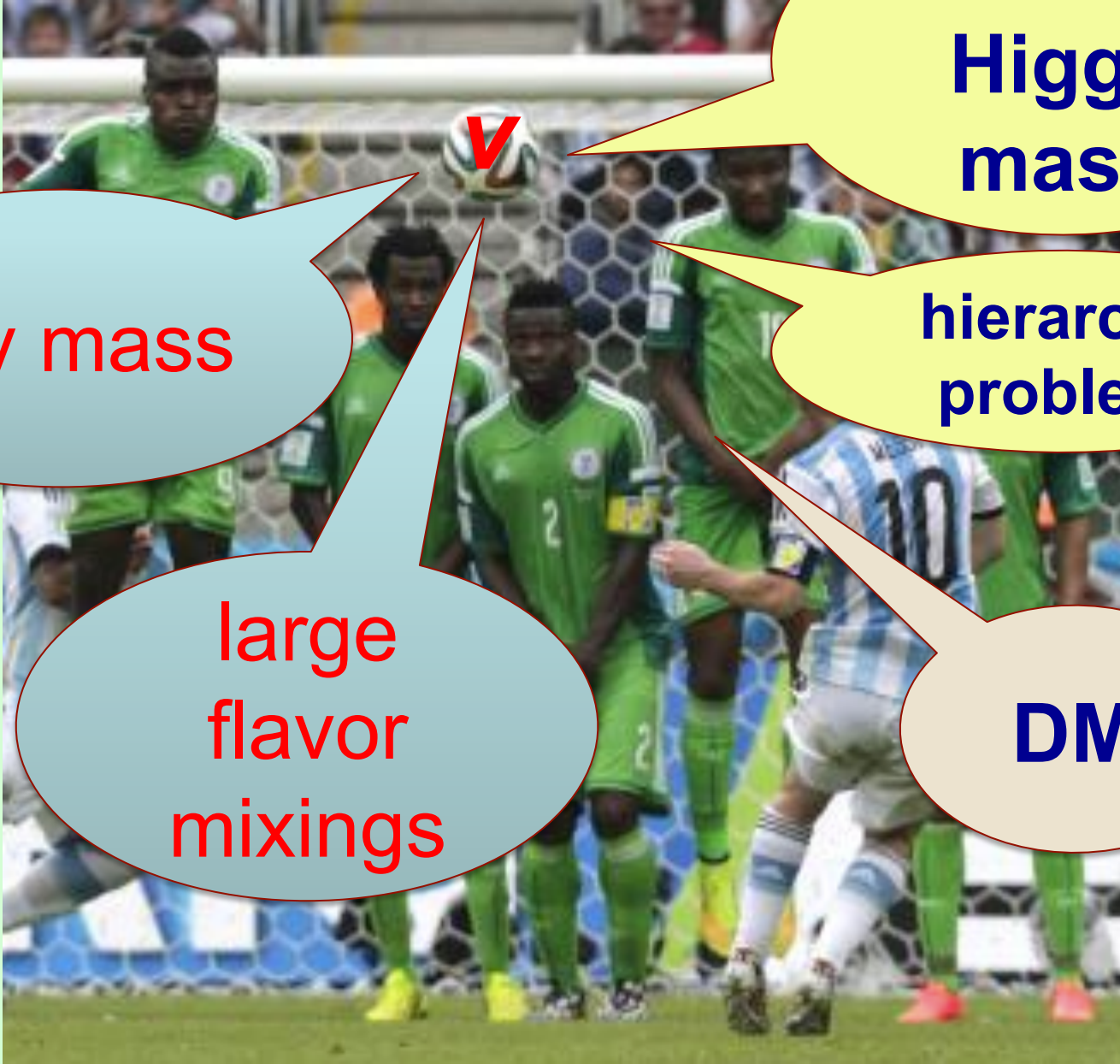
An ongoing exciting matches (experiments) are facing a tough defense, and can't get a goal (see physics beyond the Standard Model) yet.



tiny mass

large  
flavor  
mixings

An ongoing exciting matches (experiments) are facing defense, and can't get a goal (see physics beyond the Standard Model)



**126 GeV  
Higgs  
mass**

**hierarchy  
problem**

**DM**

**tiny mass**

**large  
flavor  
mixings**

【理論的見地から】

Higgs mass が 126 GeV だった  
ことの衝撃

Higgs (but still no BSM) discovery at LHC

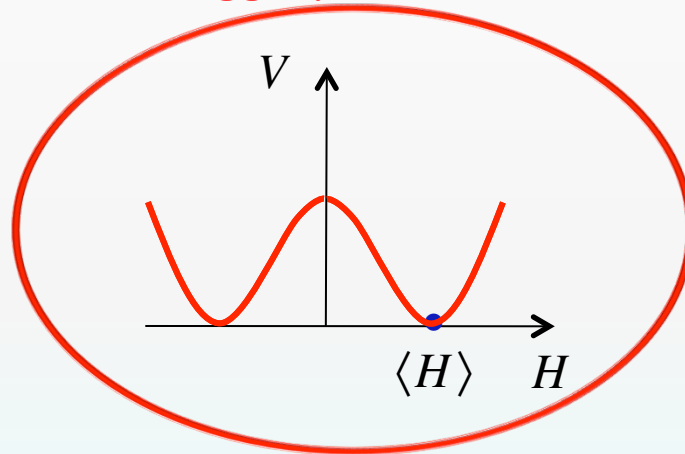
$m_H = 125.9_{\pm 0.4} \text{ GeV}$ ,  $m_{\text{top}} = 172.58 \sim 174.10 \text{ GeV}$  in the SM



## Higgs (but still no BSM) discovery at LHC

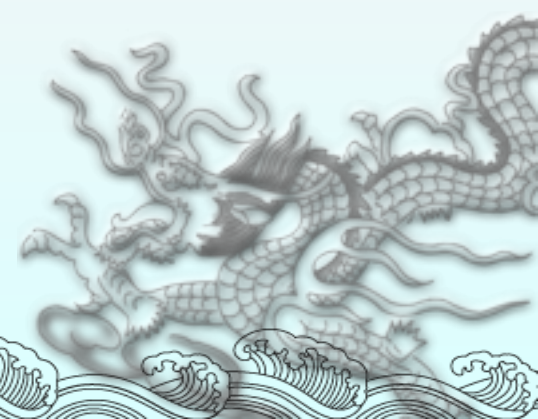
$m_H = 125.9_{\pm 0.4} \text{ GeV}$ ,  $m_{\text{top}} = 172.58 \sim 174.10 \text{ GeV}$  in the SM

### Higgs potential



$$V = \lambda (|H|^2 - v)^2$$

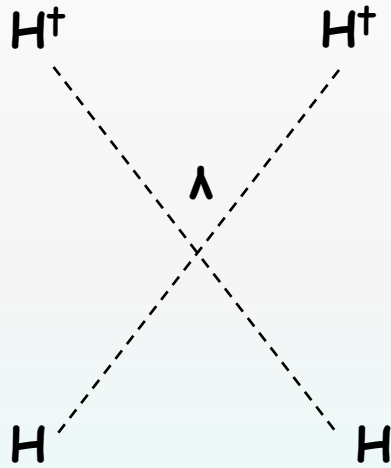
||  
**0.131 @  $M_Z$**



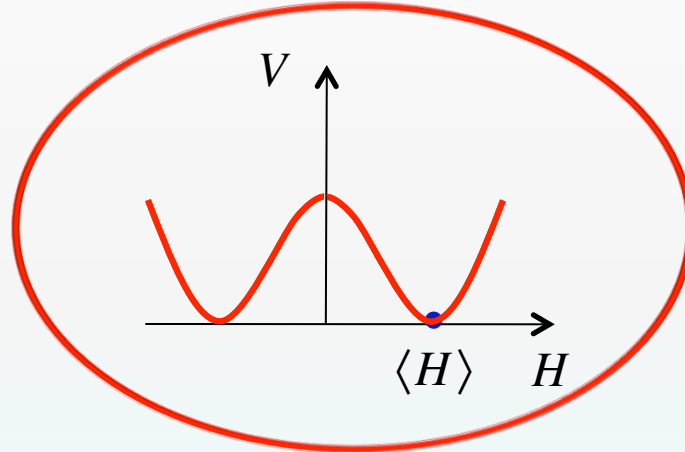


# Higgs (but still no BSM) discovery at LHC

$m_H = 125.9_{\pm 0.4} \text{ GeV}$ ,  $m_{\text{top}} = 172.58 \sim 174.10 \text{ GeV}$  in the SM

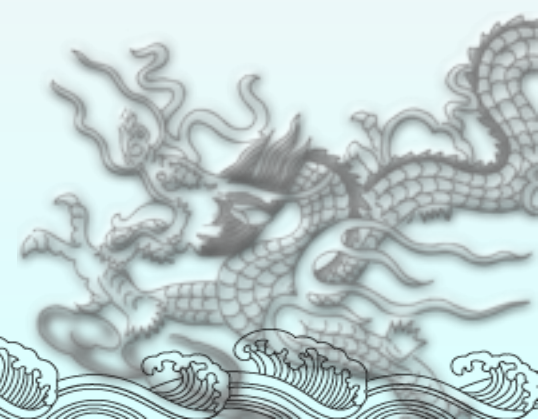


Higgs potential



$$V = \lambda (|H|^2 - v)^2$$

||  
0.131 @  $M_Z$

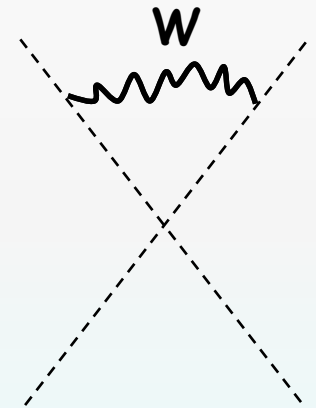
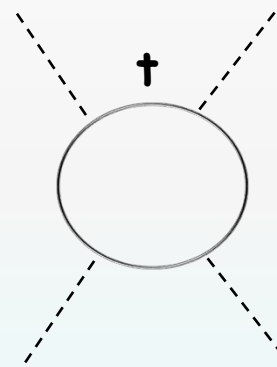
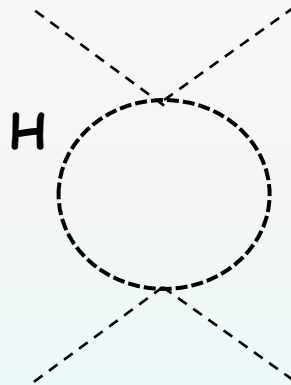
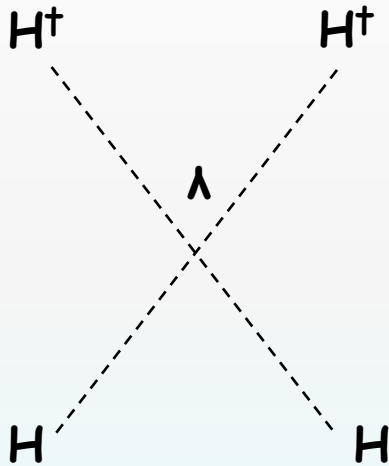




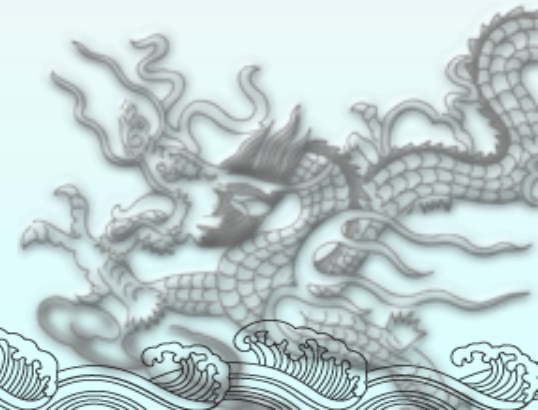
# Higgs (but still no BSM) discovery at LHC

$m_H = 125.9_{\pm 0.4} \text{ GeV}$ ,  $m_{\text{top}} = 172.58 \sim 174.10 \text{ GeV}$  in the SM

## Quantum corrections



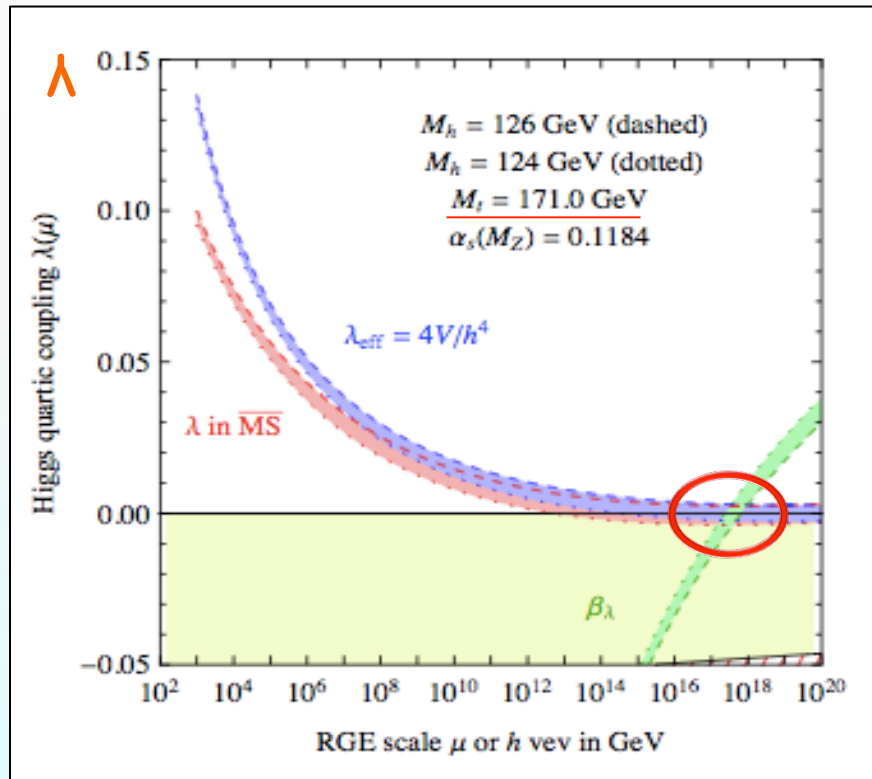
.....



# Higgs (but still no BSM) discovery at LHC

$m_H = 125.9_{\pm 0.4} \text{ GeV}$ ,  $m_{\text{top}} = 172.58 \sim 174.10 \text{ GeV}$  in the SM

## RGE of Higgs self coupling

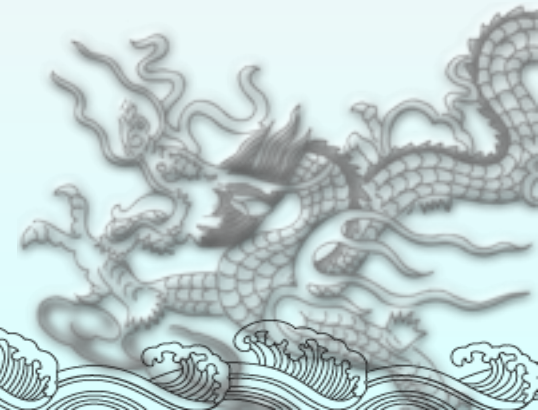
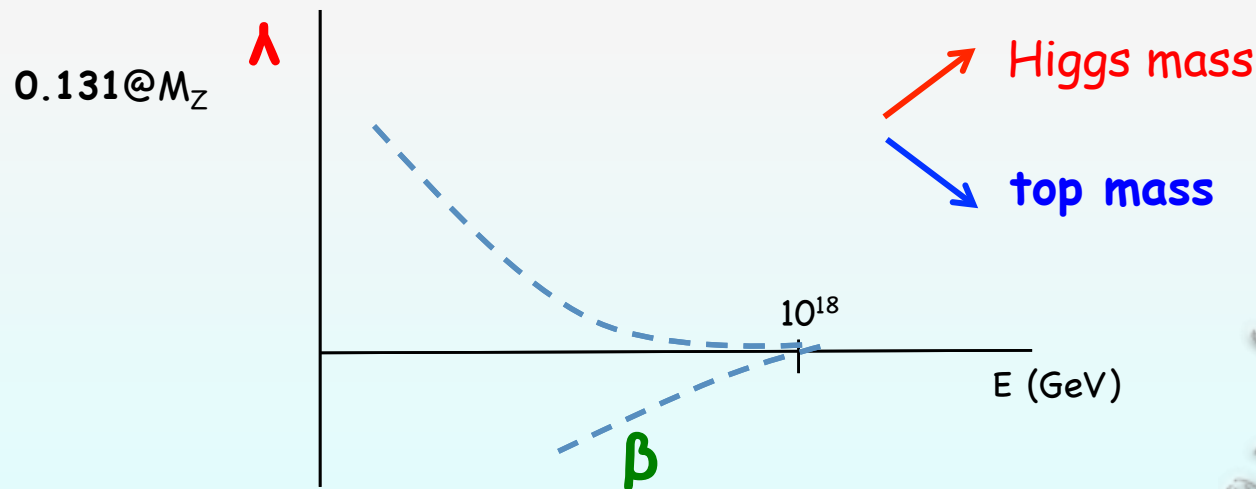


# Higgs (but still no BSM) discovery at LHC

$m_H = 125.9_{\pm 0.4} \text{ GeV}$ ,  $m_{\text{top}} = 172.58 \sim 174.10 \text{ GeV}$  in the SM

## RGE of Higgs self coupling

$$(4\pi)^2 \frac{d\lambda}{dt} = \underline{24\lambda^2} + 12\lambda y_t^2 - \underline{6y_t^4} - 3\lambda(g'^2 + 3g^2) + \frac{3}{8}[2g^4 + (g'^2 + g^2)^2]$$

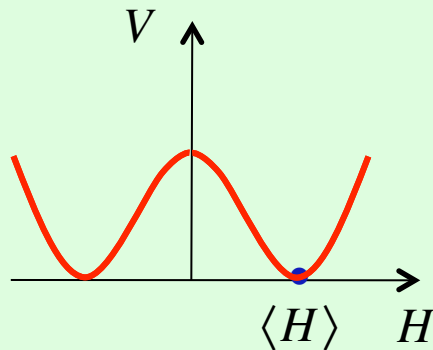


## Higgs (but still no BSM) discovery at LHC

$m_H = 125.9_{\pm 0.4} \text{ GeV}$ ,  $m_{\text{top}} = 172.58 \sim 174.10 \text{ GeV}$  in the SM

### RGE of Higgs self coupling

$$(4\pi)^2 \frac{d\lambda}{dt} = \underline{24\lambda^2} + 12\lambda y_t^2 - \underline{6y_t^4} - 3\lambda(g'^2 + 3g^2) + \frac{3}{8}[2g^4 + (g'^2 + g^2)^2]$$



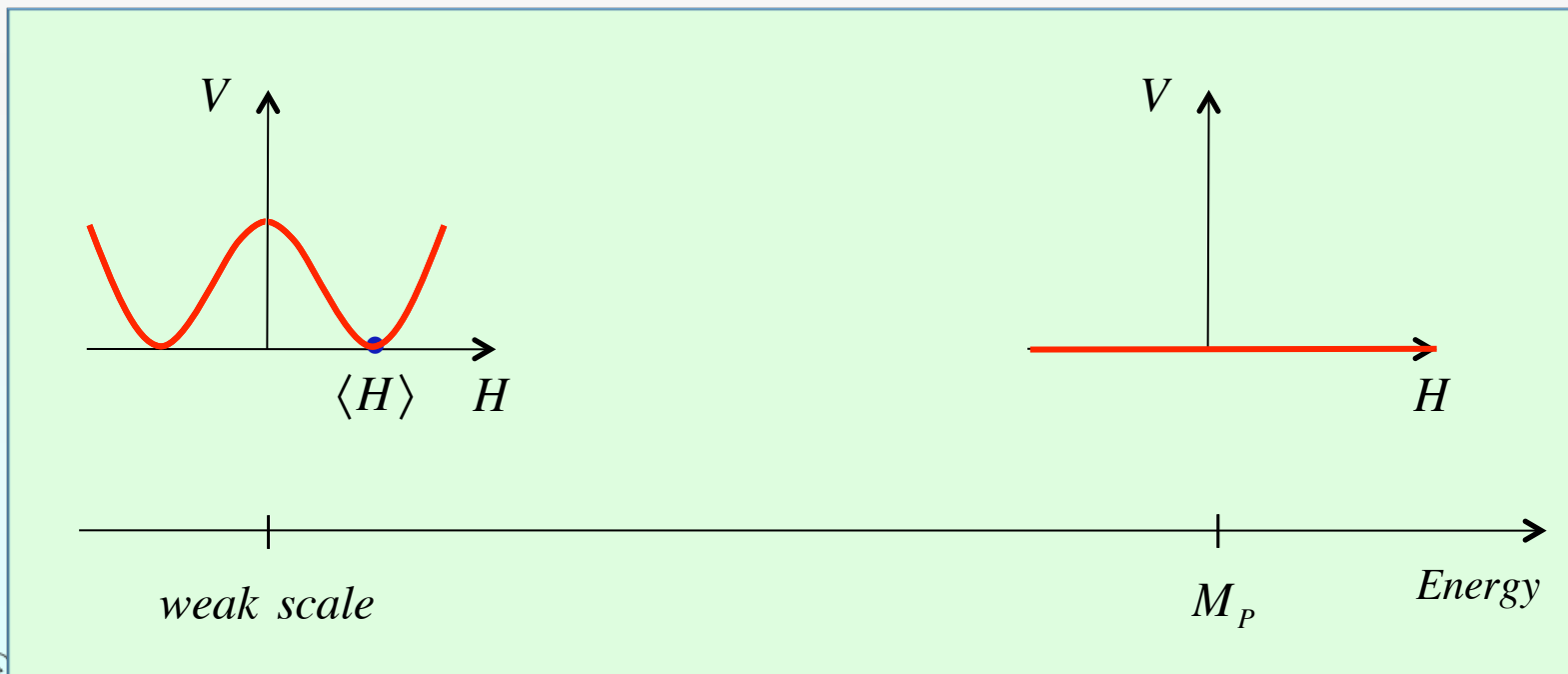
*weak scale*

## Higgs (but still no BSM) discovery at LHC

$m_H = 125.9_{\pm 0.4} \text{ GeV}$ ,  $m_{\text{top}} = 172.58 \sim 174.10 \text{ GeV}$  in the SM

### RGE of Higgs self coupling

$$(4\pi)^2 \frac{d\lambda}{dt} = \underline{24\lambda^2} + 12\lambda y_t^2 - \underline{6y_t^4} - 3\lambda(g'^2 + 3g^2) + \frac{3}{8}[2g^4 + (g'^2 + g^2)^2]$$



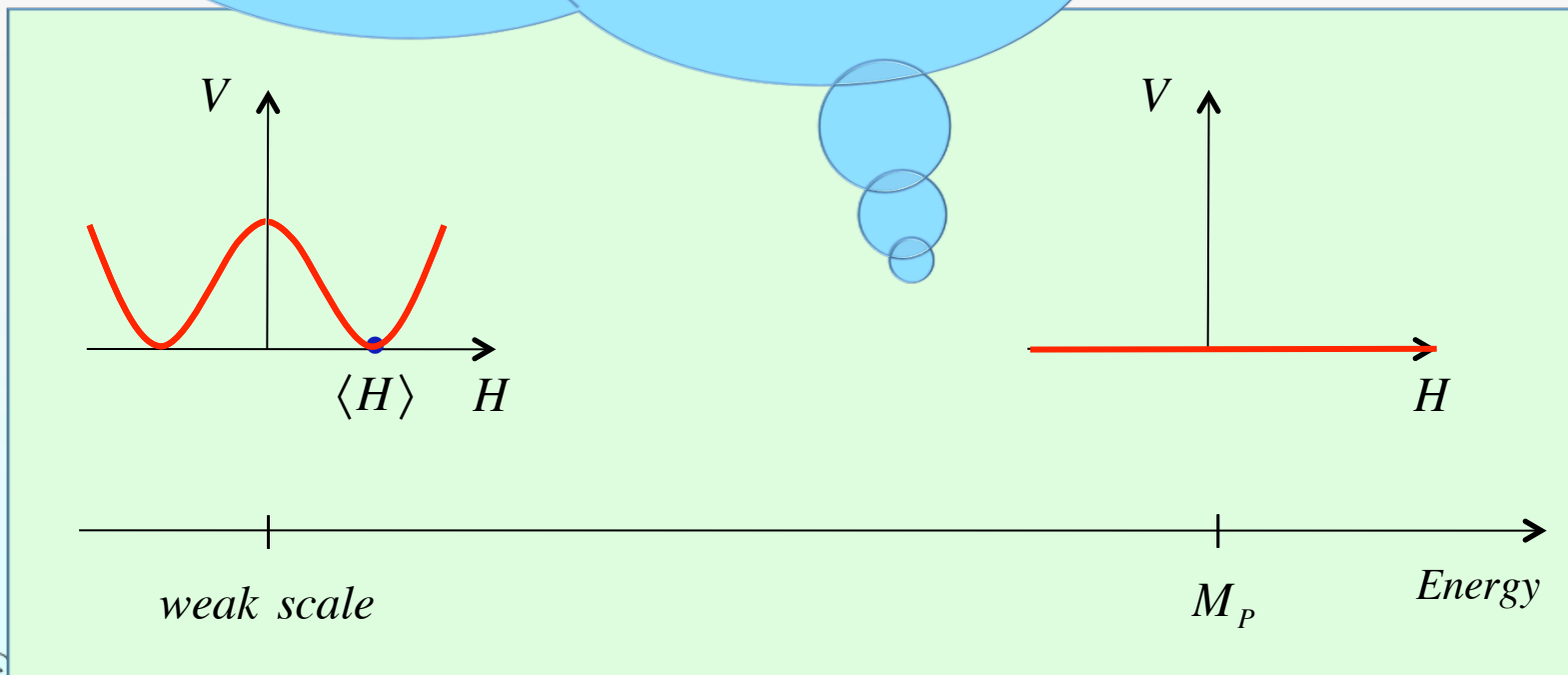
Higgs (but still no BSM) discovery at LHC

$m_H = 125.9_{\pm 0.4} \text{ GeV}$ ,  $m_{\text{top}} = 172.58 \sim 174.10 \text{ GeV}$  in the SM

means SM  $\rightarrow M_p$ ????

SMは $M_p$ にある物理のダイレクトな窓口？

$[+g^2)^2]$





# SM

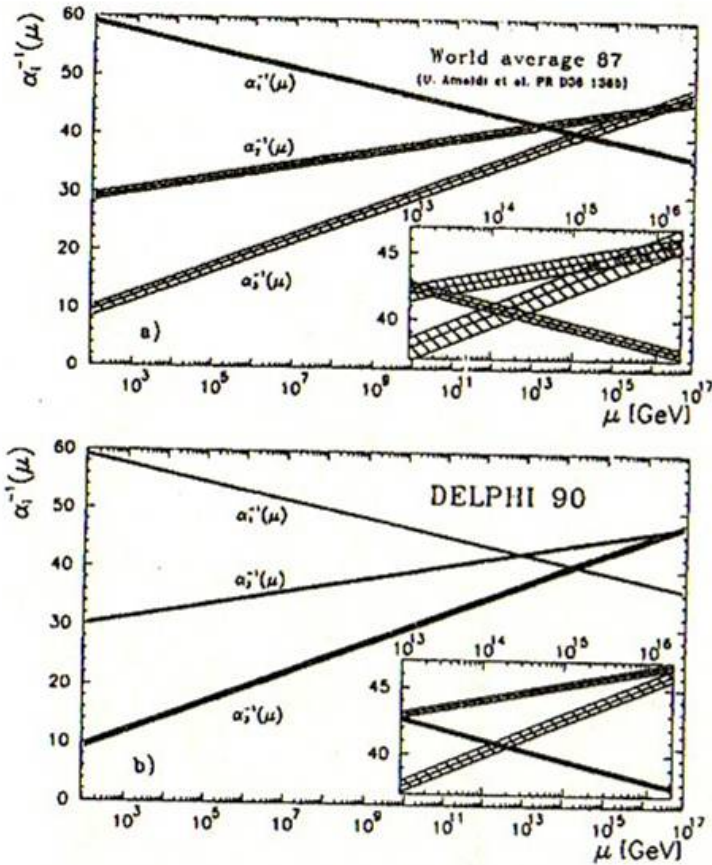


Fig. 1. (a) First order evolution of the three coupling constants in the minimal standard model (world average values in 1987 from ref. [1]). The small figure is a blow-up of the crossing area. (b) As above but using  $M_Z$  and  $\alpha_s(M_Z)$  from DELPHI data. The three coupling constants disagree with a single unification point by more than 7 standard deviations.

# MSSM

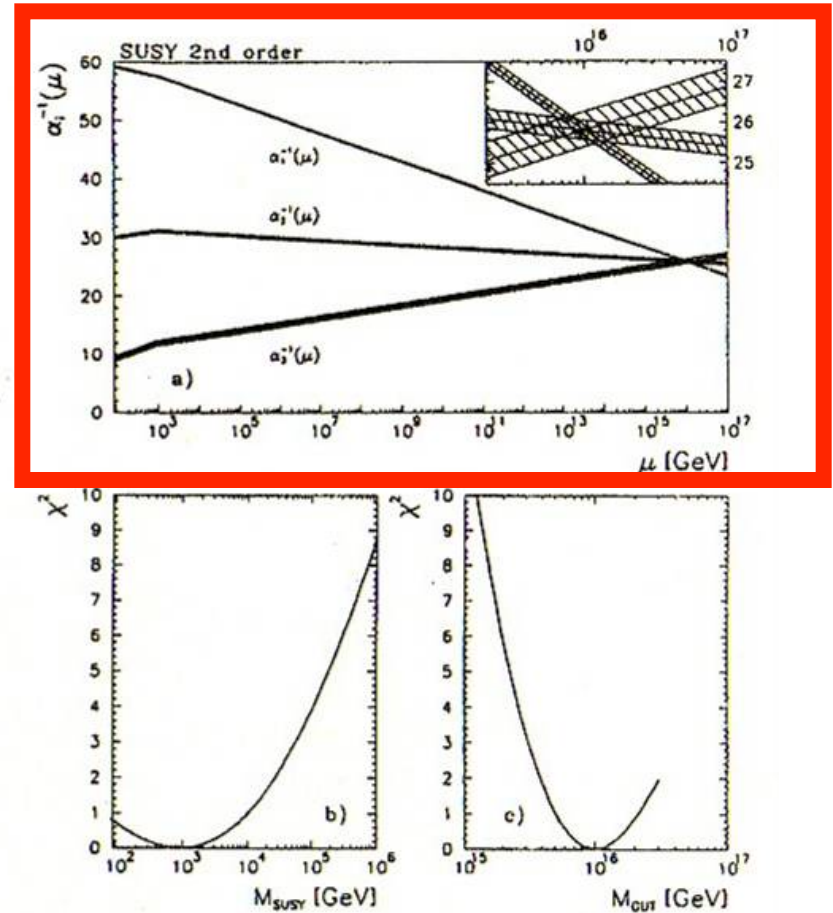


Fig. 2. (a) Second order evolution of the three coupling constants in the minimal SUSY model.  $M_{SUSY}$  has been fitted by requiring crossing of the couplings in a single point. The two lower plots show the  $\chi^2$  distribution for the SUSY scale  $M_{SUSY}$  (b) and for the unification scale  $M_{GUT}$  (c) taking into account their correlation.

(Amaldi, PLB260(1991)447)

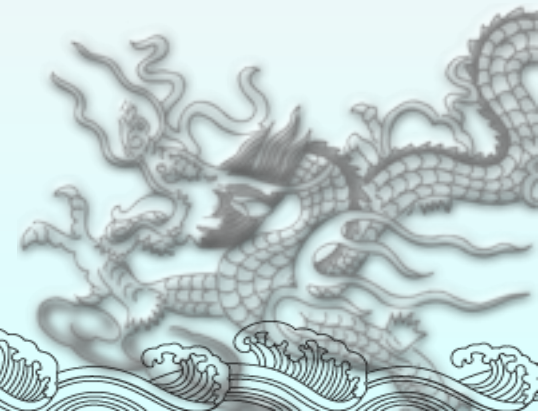
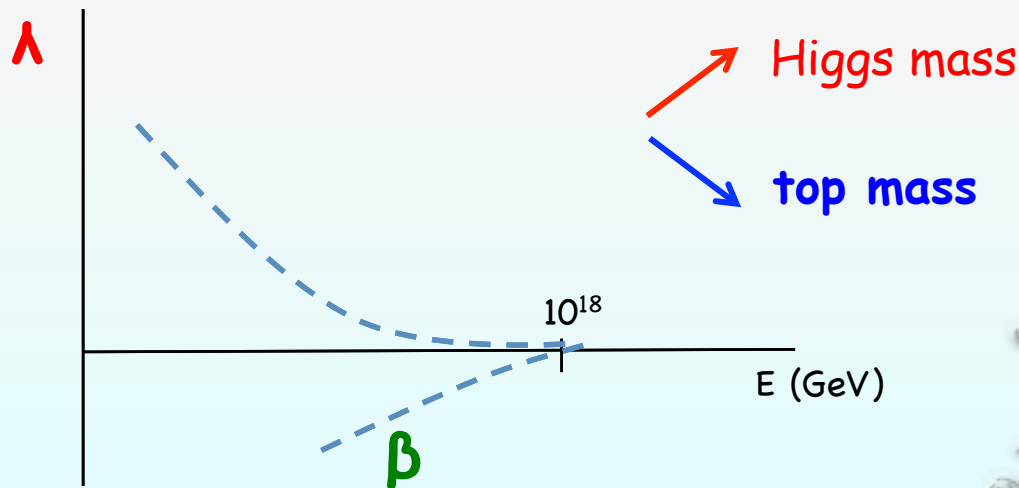
Before this paper, SUSY is not so familiar than TC etc.

## Higgs (but still no BSM) discovery at LHC

$m_H = 125.9_{\pm 0.4} \text{ GeV}$ ,  $m_{\text{top}} = 172.58 \sim 174.10 \text{ GeV}$  in the SM

### RGE of Higgs self coupling

$$(4\pi)^2 \frac{d\lambda}{dt} = \underline{24\lambda^2} + 12\lambda y_t^2 - \underline{6y_t^4} - 3\lambda(g'^2 + 3g^2) + \frac{3}{8}[2g^4 + (g'^2 + g^2)^2]$$



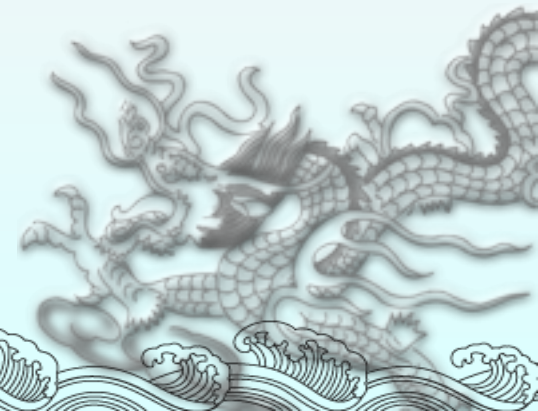
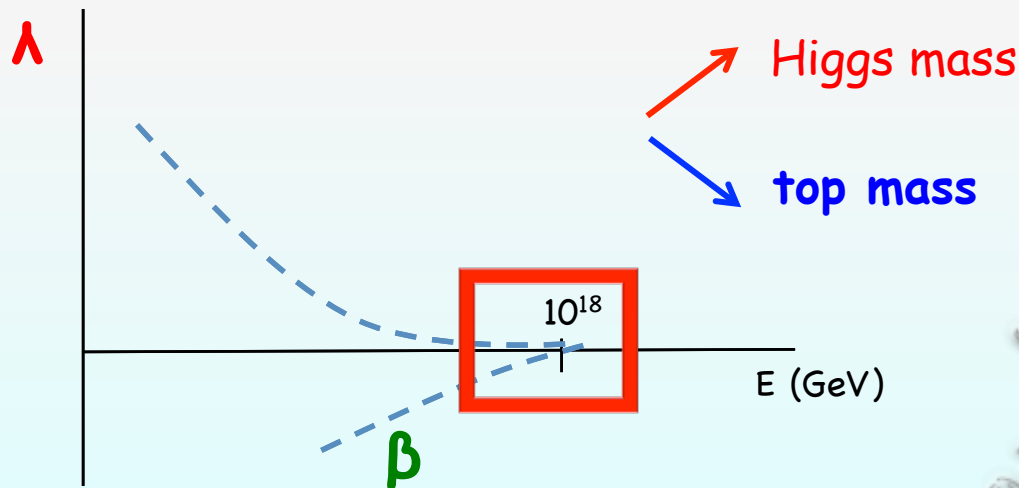


## Higgs (but still no BSM) discovery at LHC

$m_H = 125.9_{\pm 0.4} \text{ GeV}$ ,  $m_{\text{top}} = 172.58 \sim 174.10 \text{ GeV}$  in the SM

### RGE of Higgs self coupling

$$(4\pi)^2 \frac{d\lambda}{dt} = \underline{24\lambda^2} + 12\lambda y_t^2 - \underline{6y_t^4} - 3\lambda(g'^2 + 3g^2) + \frac{3}{8}[2g^4 + (g'^2 + g^2)^2]$$

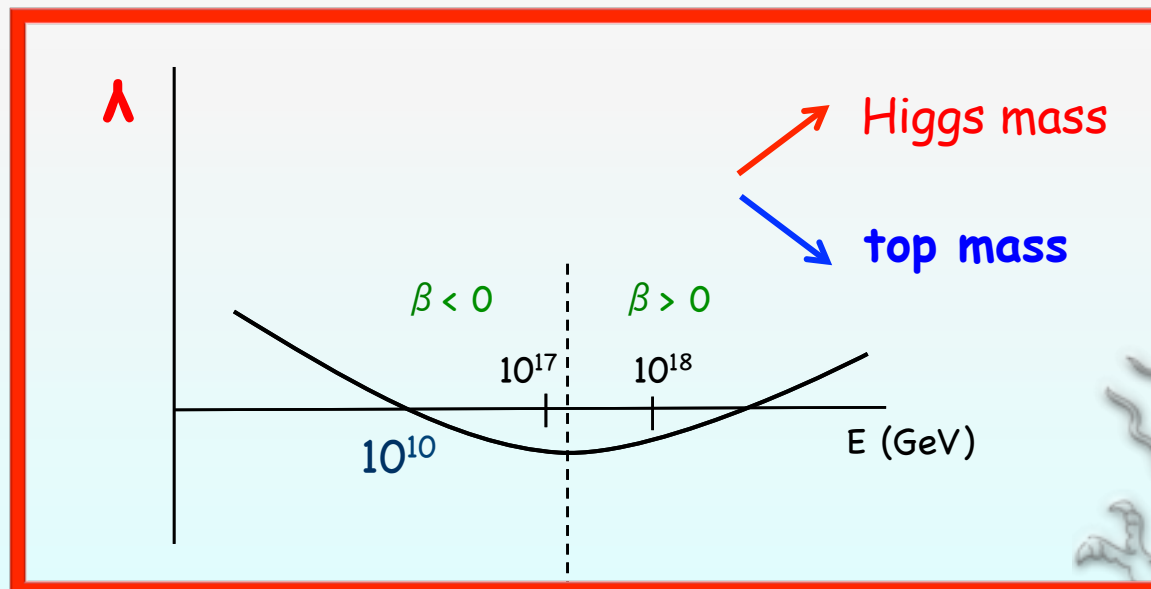


## Higgs (but still no BSM) discovery at LHC

$m_H = 125.9_{\pm 0.4} \text{ GeV}$ ,  $m_{\text{top}} = \underline{172.58 \sim 174.10} \text{ GeV}$  in the SM

### RGE of Higgs self coupling

$$(4\pi)^2 \frac{d\lambda}{dt} = \underline{24\lambda^2} + 12\lambda y_t^2 - \underline{6y_t^4} - 3\lambda(g'^2 + 3g^2) + \frac{3}{8}[2g^4 + (g'^2 + g^2)^2]$$

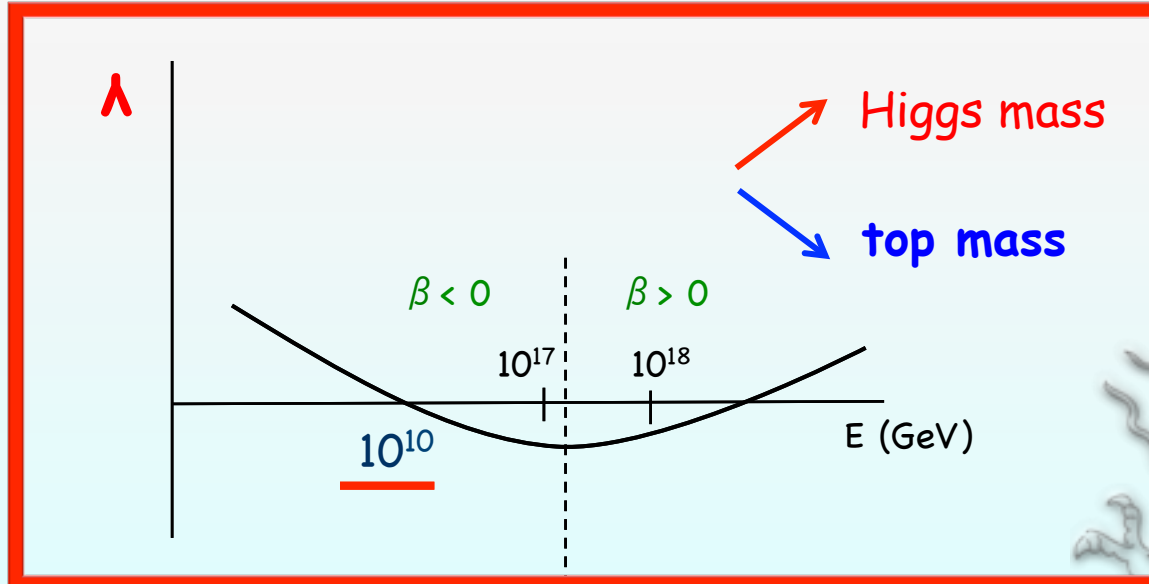


## Higgs (but still no BSM) discovery at LHC

$m_H = 125.9_{\pm 0.4} \text{ GeV}$ ,  $m_{\text{top}} = \underline{172.58 \sim 174.10} \text{ GeV}$  in the SM

### RGE of Higgs self coupling

$$(4\pi)^2 \frac{d\lambda}{dt} = \underline{24\lambda^2} + 12\lambda y_t^2 - \underline{6y_t^4} - 3\lambda(g'^2 + 3g^2) + \frac{3}{8}[2g^4 + (g'^2 + g^2)^2]$$

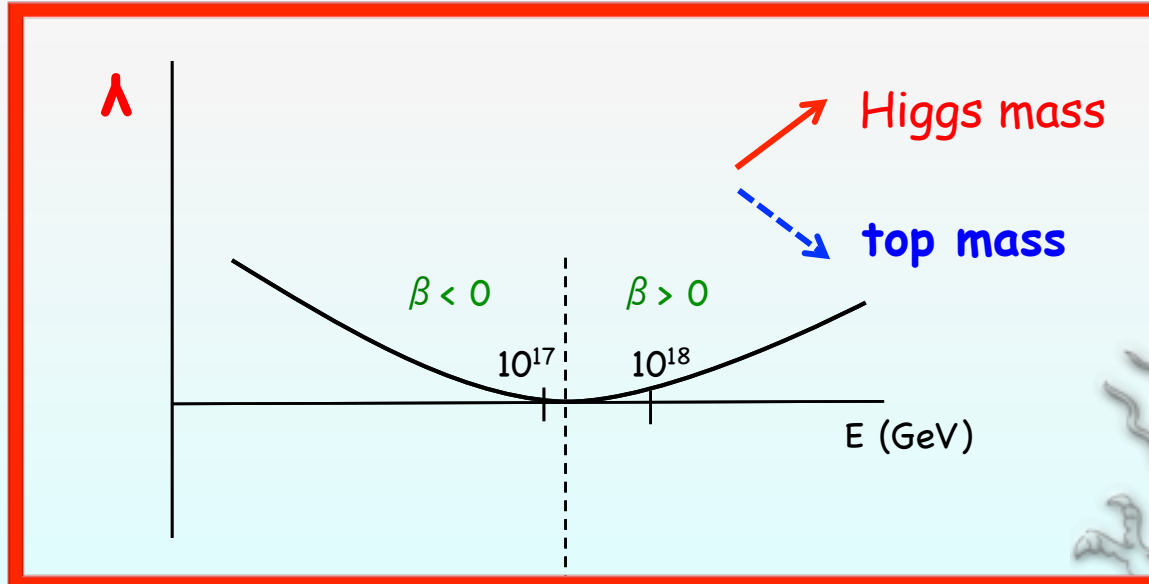


# Higgs (but still no BSM) discovery at LHC

$m_H = 125.9_{\pm 0.4} \text{ GeV}$ ,  $m_{\text{top}} = \del{172.58-174.10} \text{ GeV}$  in the SM  
 $171.081$

## RGE of Higgs self coupling

$$(4\pi)^2 \frac{d\lambda}{dt} = \underline{24\lambda^2} + 12\lambda y_t^2 - \underline{\underline{6y_t^4}} - 3\lambda(g'^2 + 3g^2) + \frac{3}{8}[2g^4 + (g'^2 + g^2)^2]$$

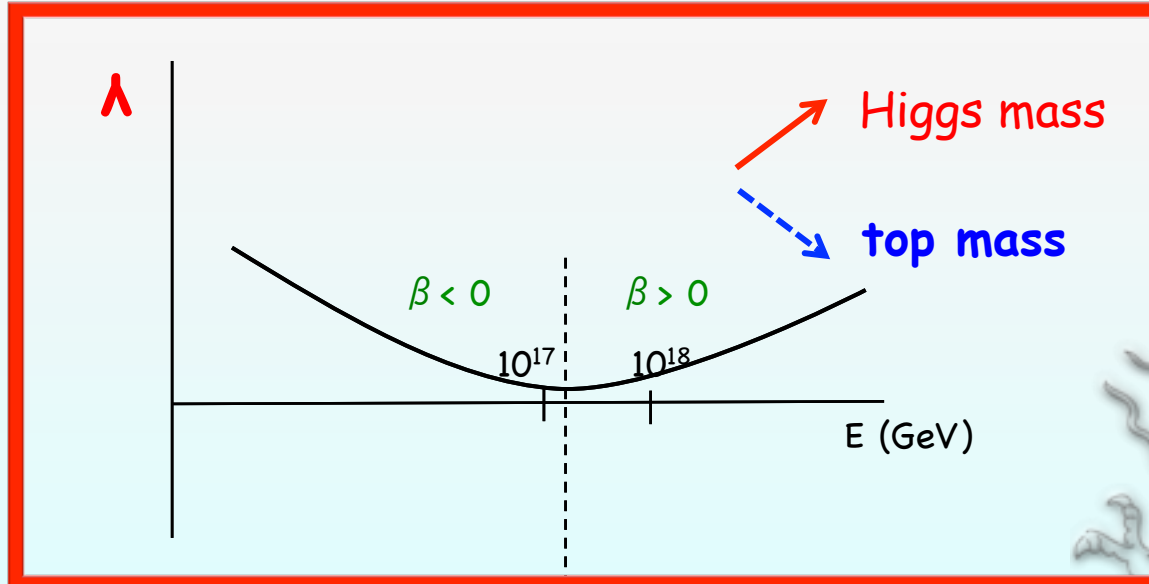


# Higgs (but still no BSM) discovery at LHC

$m_H = 125.9_{\pm 0.4} \text{ GeV}$ ,  $m_{\text{top}} = \del{172.58-174.10} \text{ GeV}$  in the SM  
 $171.079$

## RGE of Higgs self coupling

$$(4\pi)^2 \frac{d\lambda}{dt} = \underline{24\lambda^2} + 12\lambda y_t^2 - \underline{\underline{6y_t^4}} - 3\lambda(g'^2 + 3g^2) + \frac{3}{8}[2g^4 + (g'^2 + g^2)^2]$$



$\wedge(\mu < Mp) \sim 0$  をどうとらえるか？



$\Lambda(\mu < M_p) \sim 0$  をどうとらえるか？

【その1】

SMはダイレクトに $M_p$ までつながる。

(入れ忘れてる効果があって、本当は $10^{10}$  GeVで負にはならない。)



## (ex1) flat land scenario

Iso et al

Higgsポテンシャルは,  $M_p$ で消え失せるのだ～！



# (ex1) flat land scenario

Iso et al

Higgsポテンシャルは,  $M_p$ で消え失せるのだ～！

【入れ忘れていた効果】 もしかして,  $U(1)_{B-L}$ ゲージを入れ忘れていたかも？

Higgsポテンシャルは,  $M_p$ で消え失せるのだ～！

【入れ忘れていた効果】 もしかして,  $U(1)_{B-L}$ ゲージを入れ忘れていたかも？

→  $U(1)_{B-L}$ ゲージの破れ →  $\nu_R$ のMajorana質量の起源

→ 物質# > 反物質# (レプトジェネシス)の起源

Higgsポテンシャルは,  $M_p$ で消え失せるのだ~!

【入れ忘れていた効果】 もしかして,  $U(1)_{B-L}$ ゲージを入れ忘れていたかも?

→  $U(1)_{B-L}$ ゲージの破れ →  $\nu_R$ のMajorana質量の起源

→ 物質# > 反物質# (レプトジェネシス)の起源

→  $U(1)_{B-L}$ の導入 &  $U(1)_{B-L}$ を破る新しいHiggs,  $\Phi$ , の導入

Higgsポテンシャルは,  $M_p$ で消え失せるのだ~!

【入れ忘れていた効果】 もしかして,  $U(1)_{B-L}$ ゲージを入れ忘れていたかも?

→  $U(1)_{B-L}$ ゲージの破れ →  $\nu_R$ のMajorana質量の起源

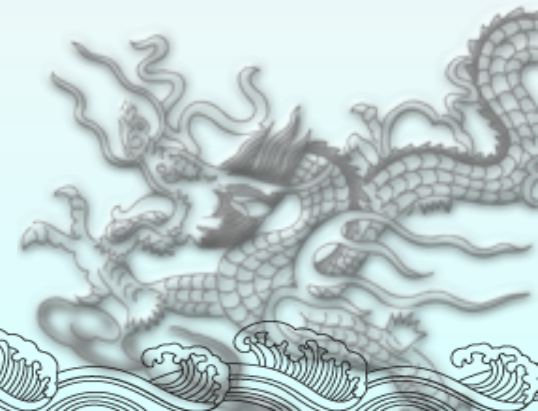
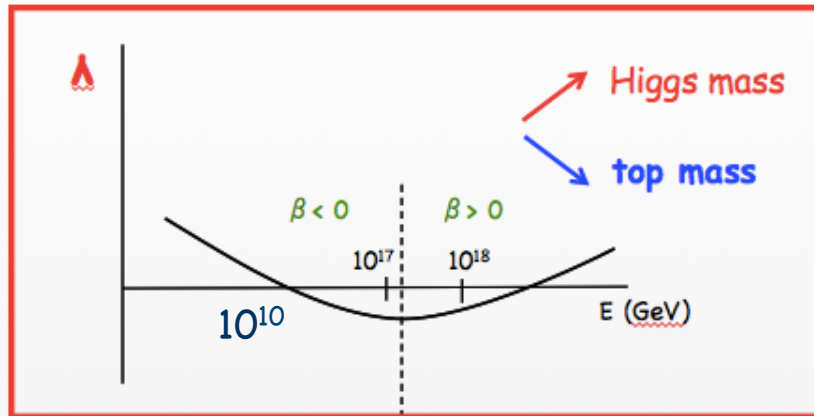
→ 物質# > 反物質# (レプトジェネシス)の起源

→  $U(1)_{B-L}$ の導入 &  $U(1)_{B-L}$ を破る新しいHiggs,  $\Phi$ , の導入

$$V = \lambda |H|^4 + k |\phi|^2 |H|^2 + \lambda_s |\phi|^4$$

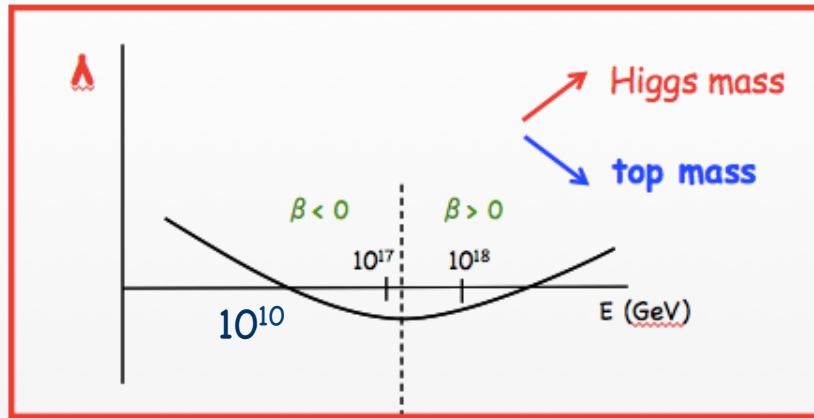
$m_H = 125.9 \pm 0.4 \text{ GeV}$ ,  $m_{\text{top}} = 172.58 \sim 174.10 \text{ GeV}$  in the SM

$$(4\pi)^2 \frac{d\lambda}{dt} = \underline{24\lambda^2} + 12\lambda y_t^2 - \underline{6y_t^4} - 3\lambda(g'^2 + 3g^2) + \frac{3}{8}[2g^4 + (g'^2 + g^2)^2]$$



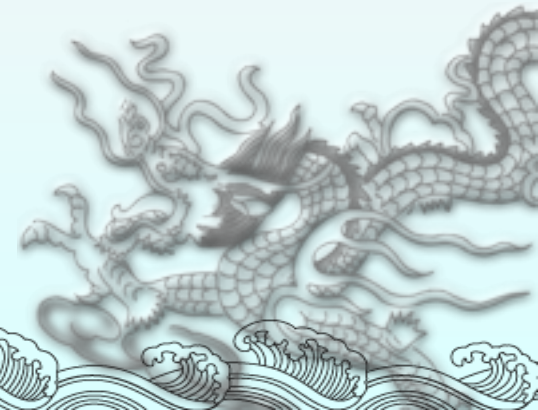
$m_H = 125.9 \pm 0.4 \text{ GeV}$ ,  $m_{\text{top}} = 172.58 \sim 174.10 \text{ GeV}$  in the SM

$$(4\pi)^2 \frac{d\lambda}{dt} = \underline{24\lambda^2} + 12\lambda y_t^2 - \underline{6y_t^4} - 3\lambda(g'^2 + 3g^2) + \frac{3}{8}[2g^4 + (g'^2 + g^2)^2]$$



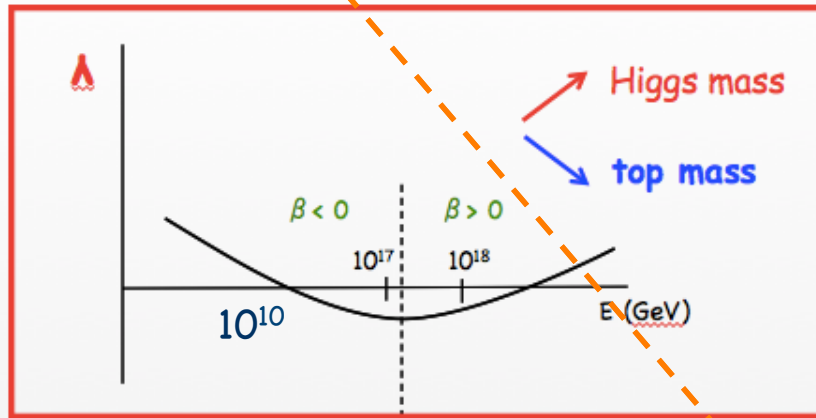
$$(4\pi)^2 \frac{dy_t}{dt} = y_t \left( \underline{\frac{9}{2} y_t^2} - \frac{17}{20} g_1^2 - \frac{9}{4} g_2^2 - 8g_3^2 - \square g_\square^2 \right)$$

new gauge  $\rightarrow$  大  $\Rightarrow$   $y_t \rightarrow$  小



$m_H = 125.9 \pm 0.4 \text{ GeV}$ ,  $m_{\text{top}} = 172.58 \sim 174.10 \text{ GeV}$  in the SM

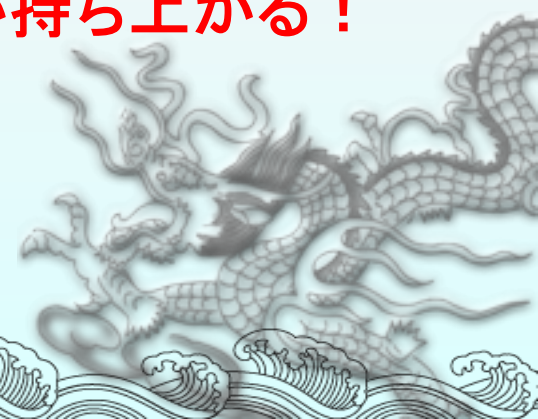
$$(4\pi)^2 \frac{d\lambda}{dt} = \underline{24\lambda^2} + 12\lambda y_t^2 - \underline{6y_t^4} - 3\lambda(g_1^2 + 3g_2^2) + \frac{3}{8}[2g^4 + (g_1^2 + g_2^2)^2]$$



$$(4\pi)^2 \frac{dy_t}{dt} = y_t \left( \underline{\frac{9}{2}y_t^2} - \frac{17}{20}g_1^2 - \frac{9}{4}g_2^2 - 8g_3^2 - \square g_\square^2 \right)$$

new gauge  $\rightarrow$  大  $\Rightarrow$   $y_t \rightarrow$  小

$\Rightarrow$   $\lambda$ が持ち上がる!

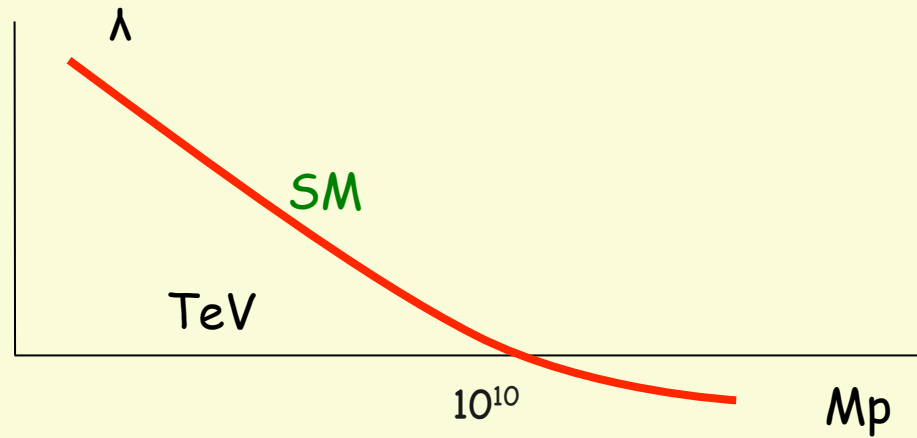


# (ex1) flat land scenario

$$V = \lambda |H|^4 + k |\phi|^2 |H|^2 + \lambda_s |\phi|^4$$

・SM + U(1)<sub>B-L</sub> ゲージを導入。

・その結果



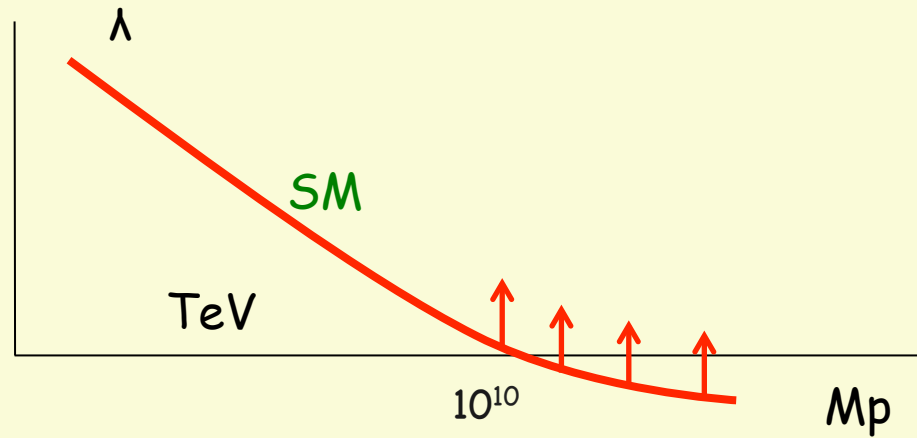


# (ex1) flat land scenario

$$V = \lambda |H|^4 + k |\phi|^2 |H|^2 + \lambda_s |\phi|^4$$

・SM + U(1)<sub>B-L</sub> ゲージを導入。

・その結果

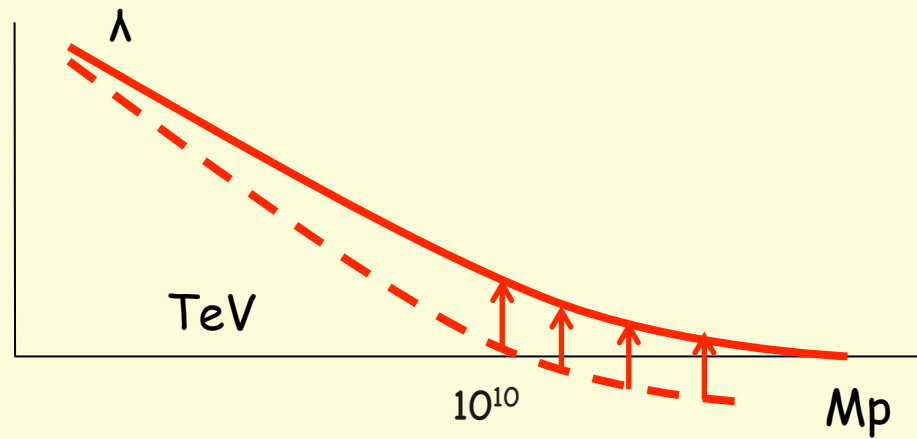


# (ex1) flat land scenario

$$V = \lambda |H|^4 + k |\phi|^2 |H|^2 + \lambda_s |\phi|^4$$

・SM + U(1)<sub>B-L</sub> ゲージを導入。

・その結果

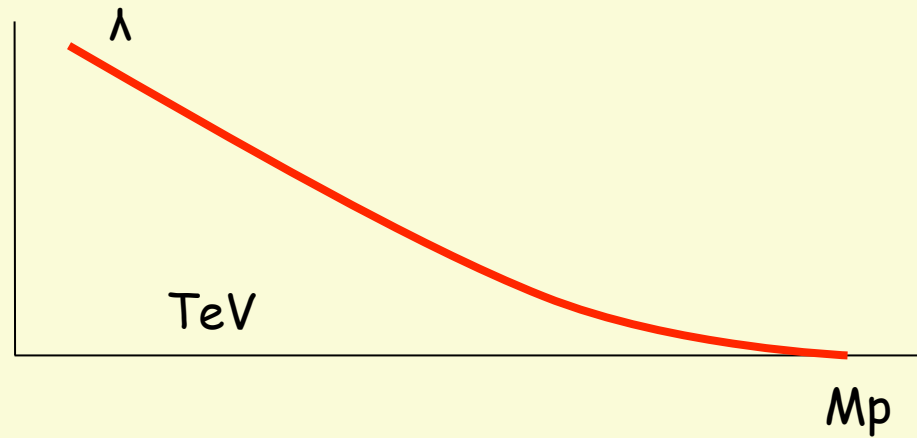


# (ex1) flat land scenario

$$V = \lambda |H|^4 + k |\phi|^2 |H|^2 + \lambda_s |\phi|^4$$

・SM + U(1)<sub>B-L</sub> ゲージを導入。

・その結果

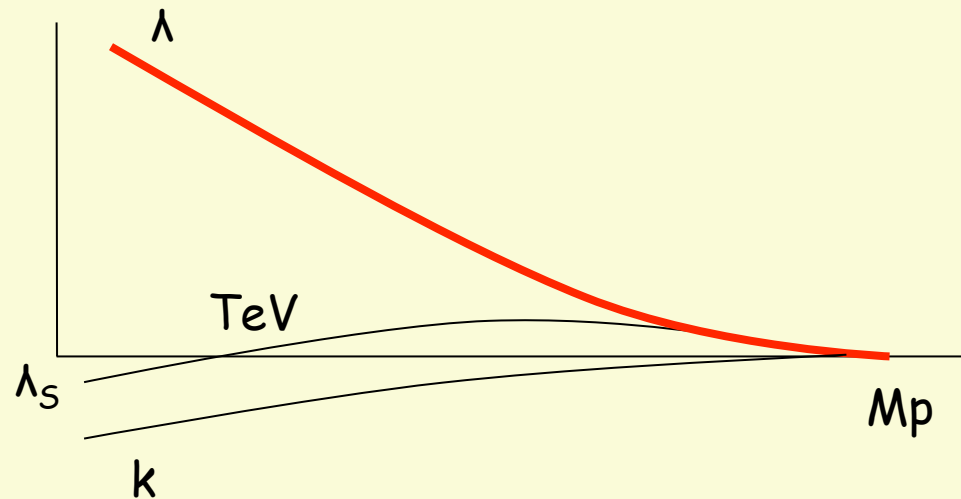


# (ex1) flat land scenario

$$V = \lambda |H|^4 + k |\phi|^2 |H|^2 + \lambda_s |\phi|^4$$

・SM + U(1)<sub>B-L</sub> ゲージを導入。

・その結果

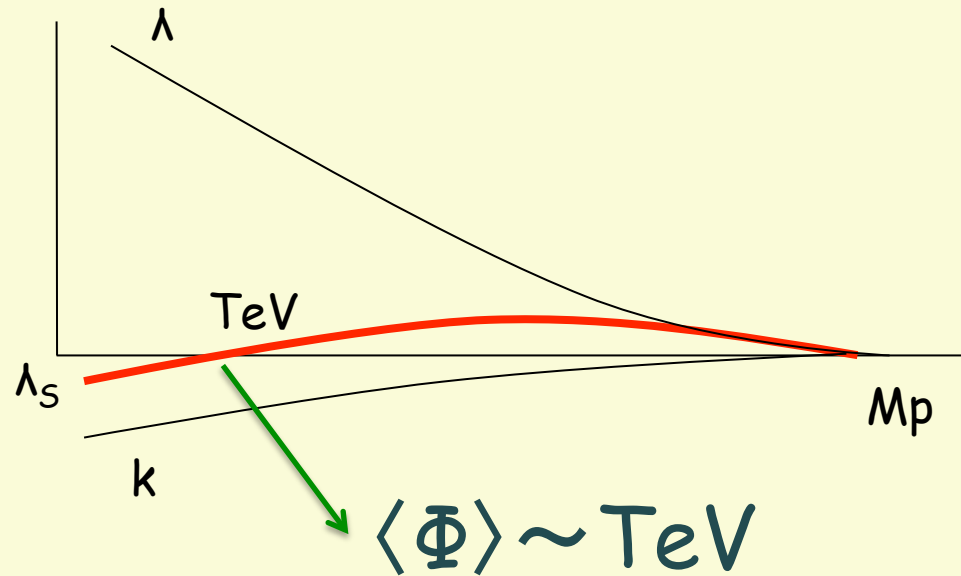


# (ex1) flat land scenario

$$V = \lambda |H|^4 + k |\phi|^2 |H|^2 + \underline{\lambda_s} |\phi|^4$$

• SM + U(1)<sub>B-L</sub> ゲージを導入。

• その結果

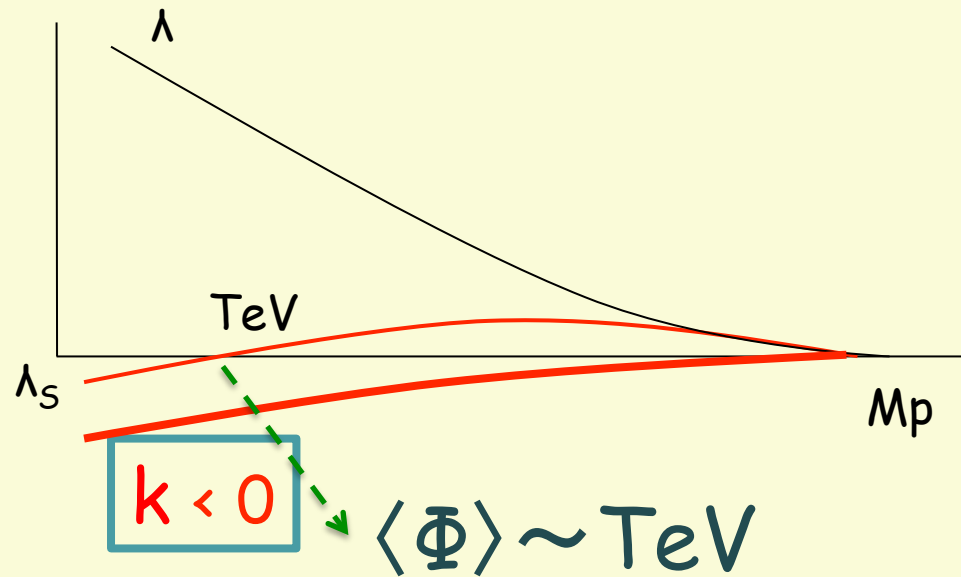


# (ex1) flat land scenario

$$V = \lambda |H|^4 + \underline{k} |\phi|^2 |H|^2 + \lambda_s |\phi|^4$$

• SM + U(1)<sub>B-L</sub> ゲージを導入。

• その結果



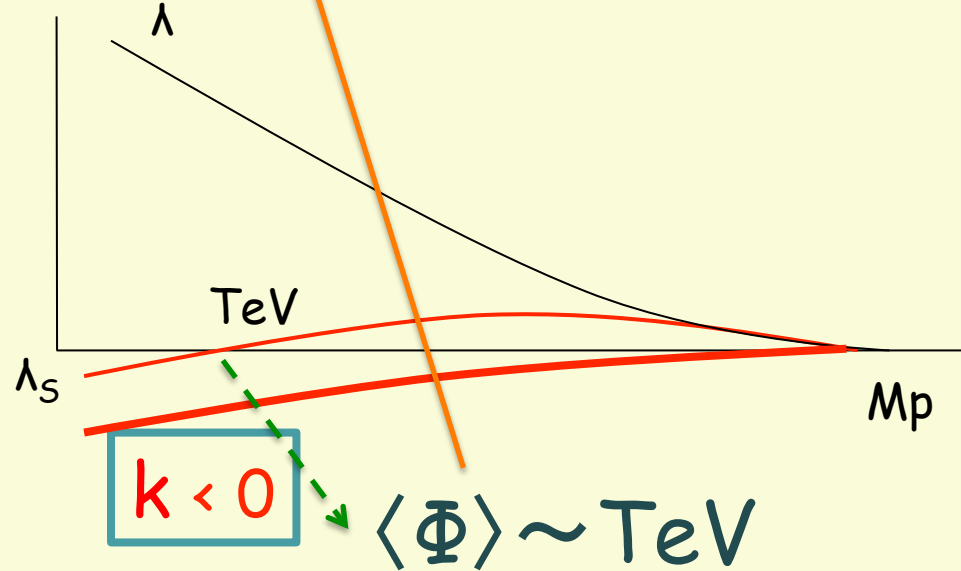
# (ex1) flat land scenario

$$V = \lambda |H|^4 + \underbrace{k |\phi|^2 |H|^2}_{=-m^2} + \lambda_s |\phi|^4$$

• SM + U(1)<sub>B-L</sub> ゲージを導入。

$= -m^2$  (origin of the wine-bottle (EWB))

• その結果



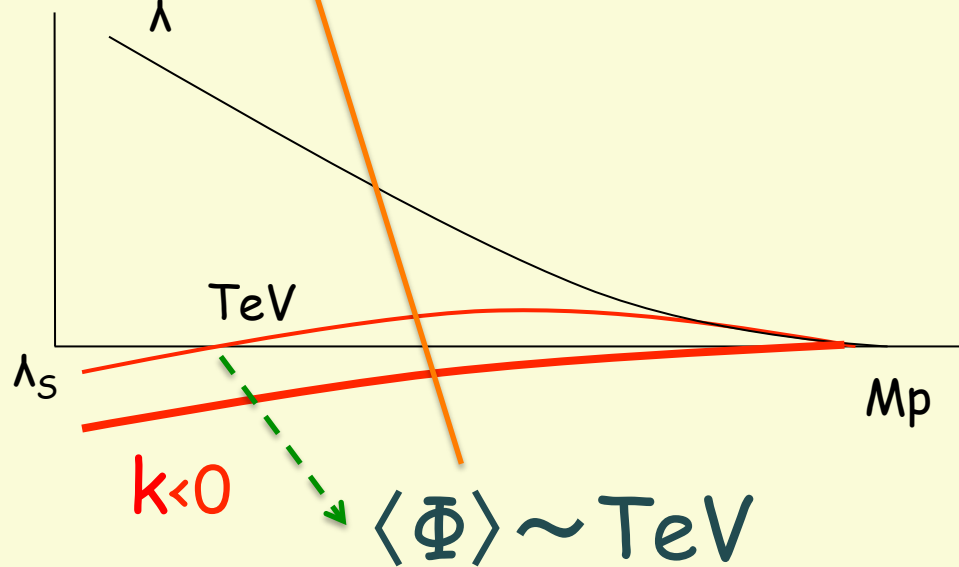
# (ex1) flat land scenario

$$V = \lambda |H|^4 + \underbrace{k |\phi|^2 |H|^2}_{=-m^2} + \lambda_s |\phi|^4$$

• SM + U(1)<sub>B-L</sub> ゲージを導入。

$= -m^2$  (origin of the wine-bottle (EWB))

• その結果



•  $L \sim \langle \Phi \rangle \nu_R^2 \rightarrow \text{TeV Majorana mass of } \nu_R$  (Majoron  $\rightarrow$  縦波)。

$g_{B-L}$  が大きいこと ( $\sim O(1)$ ) が必要, 階層性問題の解決から  $\langle \Phi \rangle$  は TeV  
 $\rightarrow \nu_R$  の Majorana mass も TeV じゃなくてはいけない!



# (ex1) flat land scenario

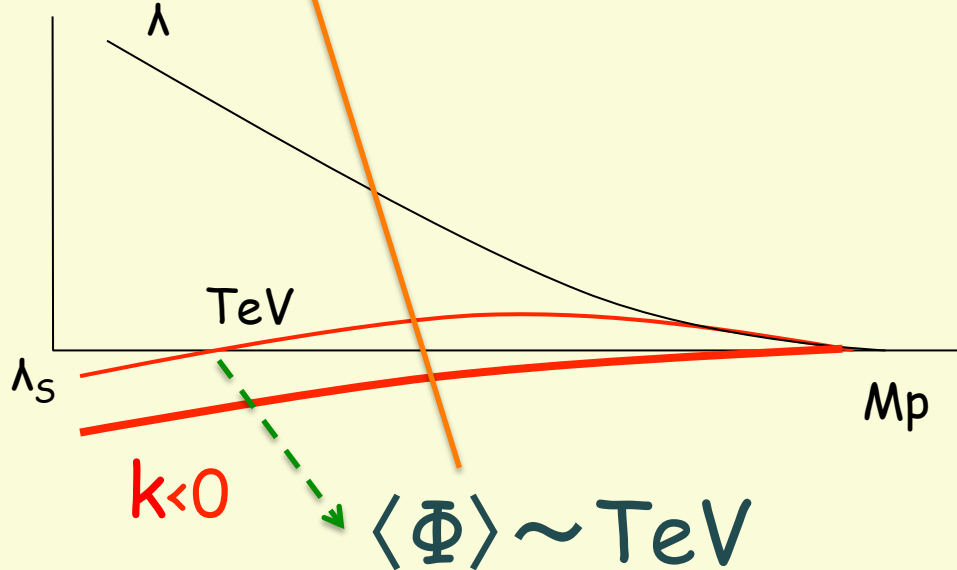
Iso et al

$$V = \lambda |H|^4 + k |\phi|^2 |H|^2 + \lambda_s |\phi|^4$$

• SM +  $U(1)_{B-L}$  ゲージを導入。

$= -m^2$  (origin of the wine-bottle (EWB))

• その結果



- $L \sim \langle \Phi \rangle v_R^2 \rightarrow$  TeV Majorana mass of  $v_R$  (Majoron  $\rightarrow$  縦波)。
  - $\rightarrow$  TeV scale seesaw, (resonant) leptogenesis, (anyhow, all phenomenology must be at TeV)

$g_{B-L}$  が大きいこと ( $\sim O(1)$ ) が必要, 階層性問題の解決から  $\langle \Phi \rangle$  は TeV

$\rightarrow v_R$  の Majorana mass も TeV じゃなくてはいけない!

# (ex2) GUT @ $M_p$ model

NH, Ishida, Takahashi, Yamaguchi  
arXiv:1412.8230

- ・ 中間スケールを導入できないので, GUT ( $< M_p$ ) はどうする?

## (ex2) GUT @ $M_p$ model

NH, Ishida, Takahashi, Yamaguchi  
arXiv:1412.8230

・ 中間スケールを導入できないので, GUT ( $< M_p$ ) はどうする?

→ 中間スケールを導入できないので, GUT も  $M_p$  で起きないとダメだろう。

# (ex2) GUT @ Mp model

・中間スケールを導入できないので, GUT (< Mp) はどうする?

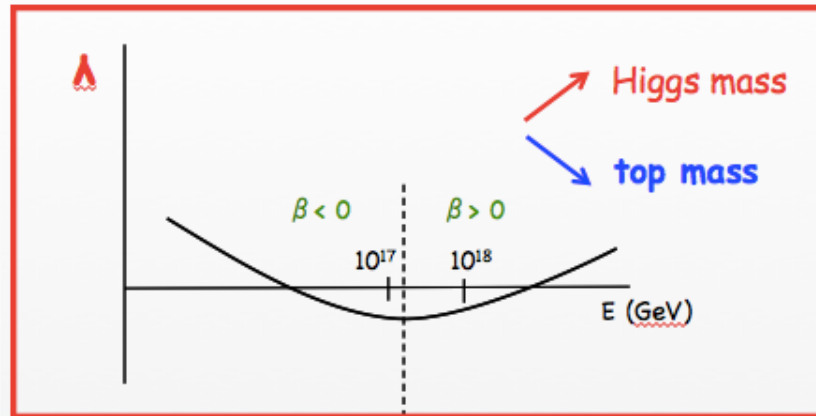
→ 中間スケールを導入できないので, GUTもMpで起きないとダメだろう。

→ vector-like matters をSMに付け加えて, GUT@Mpを実現する。

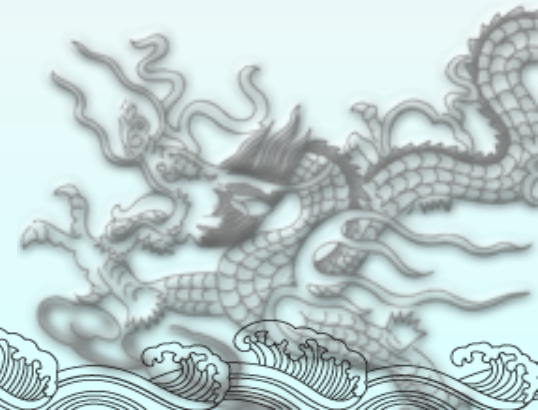
Extra fermions	$(b'_1, b'_2, b'_3)$	$\alpha_{GUT}^{-1}$
$W \times 1 (0.5) \oplus U\bar{U} \times 1 (1) \oplus Q\bar{Q} \times 2 (10) \oplus D\bar{D} \times 4 (10)$	$(\frac{12}{5}, \frac{16}{3}, 6)$	19.1
$E\bar{E} \times 2 (0.5) \oplus Q\bar{Q} \times 2 (2) \oplus Q\bar{Q} \times 2 (10) \oplus D\bar{D} \times 4 (10)$	$(\frac{46}{15}, 6, \frac{20}{3})$	14.9
$L\bar{L} \times 1 (0.5) \oplus E\bar{E} \times 1 (0.5) \oplus Q\bar{Q} \times 1 (1) \oplus U\bar{U} \times 1 (1) \oplus Q\bar{Q} \times 2 (10) \oplus D\bar{D} \times 4 (10)$	$(\frac{56}{15}, \frac{20}{3}, \frac{22}{3})$	11.1
$E\bar{E} \times 1 (0.5) \oplus W \times 1 (0.5) \oplus U\bar{U} \times 2 (4) \oplus Q\bar{Q} \times 3 (10) \oplus D\bar{D} \times 4 (10)$	$(\frac{22}{5}, \frac{22}{3}, 8)$	7.95

$m_H = 125.9 \pm 0.4 \text{ GeV}$ ,  $m_{\text{top}} = 172.58 \sim 174.10 \text{ GeV}$  in the SM

$$(4\pi)^2 \frac{d\lambda}{dt} = \underline{24\lambda^2} + 12\lambda y_t^2 - \underline{6y_t^4} - 3\lambda(g'^2 + 3g^2) + \frac{3}{8}[2g^4 + (g'^2 + g^2)^2]$$

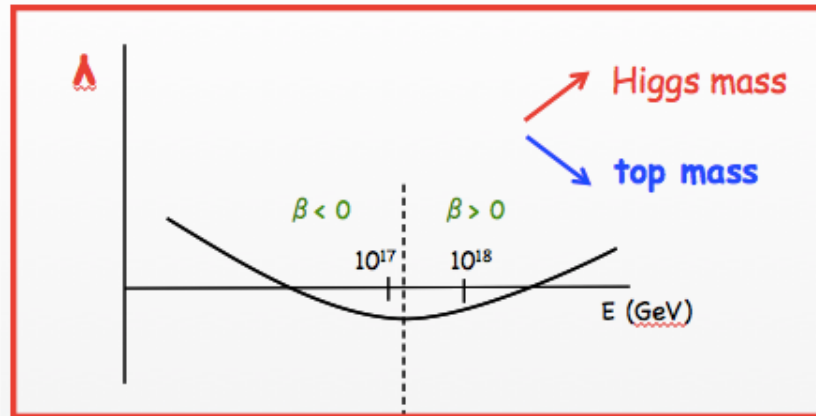


一般的に、新粒子 (GUCを実現するため) を入れると gauge は強くなる。



$m_H = 125.9 \pm 0.4 \text{ GeV}$ ,  $m_{\text{top}} = 172.58 \sim 174.10 \text{ GeV}$  in the SM

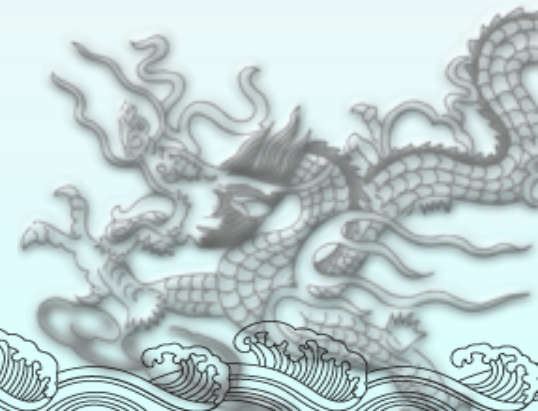
$$(4\pi)^2 \frac{d\lambda}{dt} = \underline{24\lambda^2} + 12\lambda y_t^2 - \underline{6y_t^4} - 3\lambda(g_1^2 + 3g_2^2) + \frac{3}{8}[2g_4^2 + (g_1^2 + g_2^2)^2]$$



一般的に、新粒子 (GUCを実現するため) を入れると gauge は強くなる。

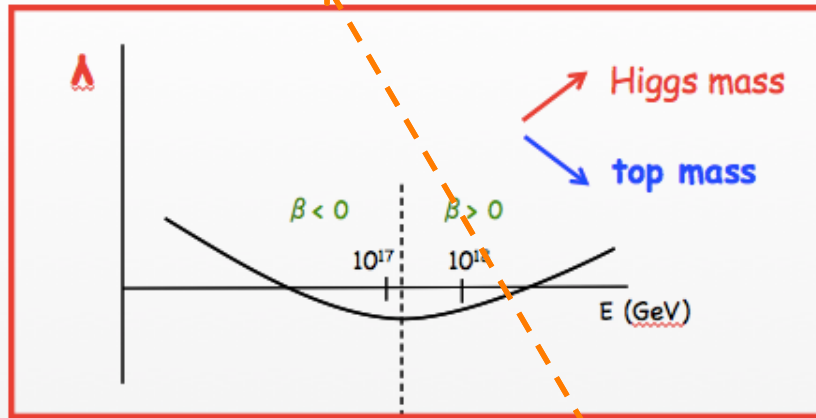
$$(4\pi)^2 \frac{dy_t}{dt} = y_t \left( \underline{\frac{9}{2} y_t^2} - \underline{\frac{17}{20} g_1^2 - \frac{9}{4} g_2^2 - 8g_3^2} \right)$$

Gauge → 大 ⇒  $y_t$  → 小



$m_H = 125.9 \pm 0.4 \text{ GeV}$ ,  $m_{\text{top}} = 172.58 \sim 174.10 \text{ GeV}$  in the SM

$$(4\pi)^2 \frac{d\lambda}{dt} = \underline{24\lambda^2} + 12\lambda y_t^2 - \underline{6y_t^4} - 3\lambda(g_1^2 + 3g_2^2) + \frac{3}{8}[2g_4^4 + (g_1^2 + g_2^2)^2]$$

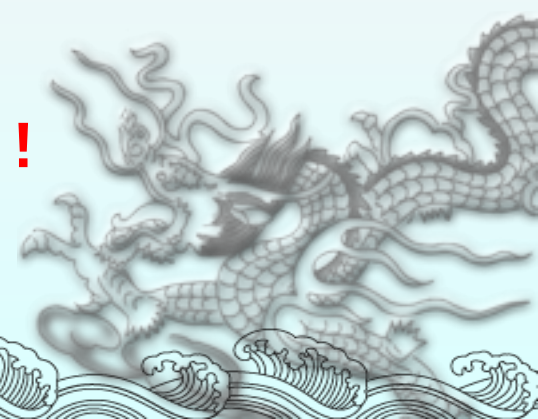


一般的に、新粒子 (GUCを実現するため) を入れると gauge は強くなる。

$$(4\pi)^2 \frac{dy_t}{dt} = y_t \left( \underline{\frac{9}{2} y_t^2} - \underline{\frac{17}{20} g_1^2 - \frac{9}{4} g_2^2 - 8g_3^2} \right)$$

Gauge  $\rightarrow$  大  $\Rightarrow y_t \rightarrow$  小

$\Rightarrow \lambda$  が持ち上がる!



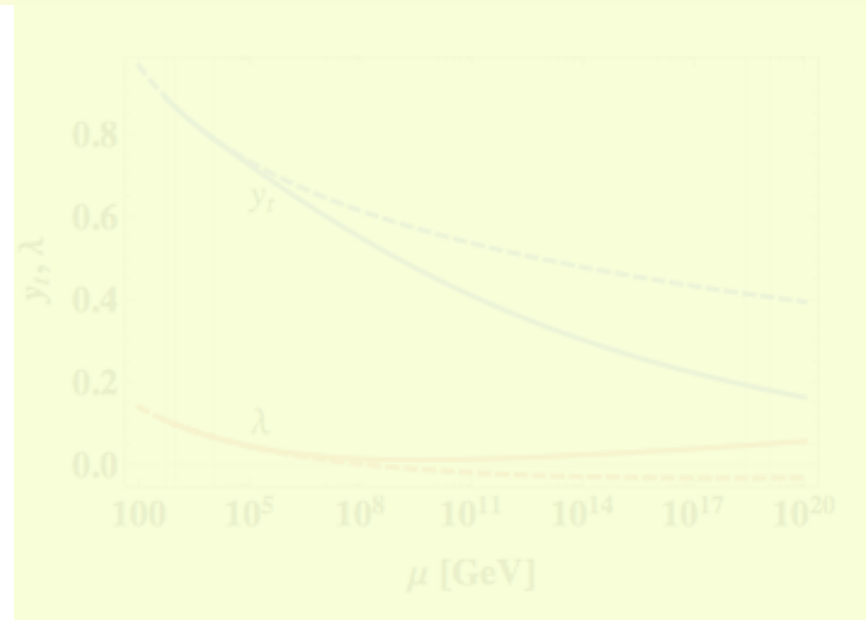
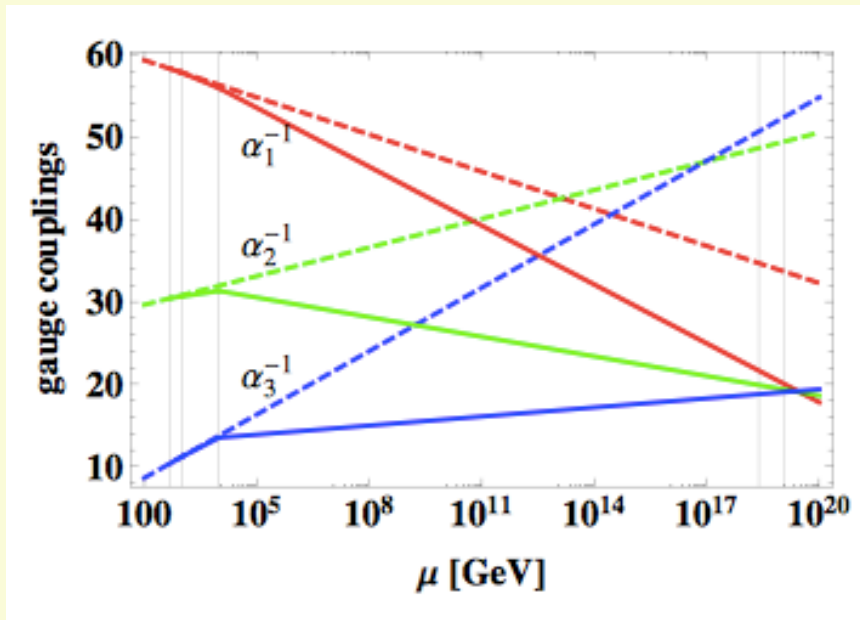
・中間スケールを導入できないので、GUT (<  $M_p$ ) はどうする？

→ 中間スケールを導入できないので、GUTも $M_p$ で起きないとダメだろう。

→ vector-like matters をSMに付け加えて、GUT@ $M_p$ を実現する。

→ gauge → 大

→  $\Lambda$ 持ち上がる)



→ vacuum becomes stable



# (ex2) GUT @ Mp model

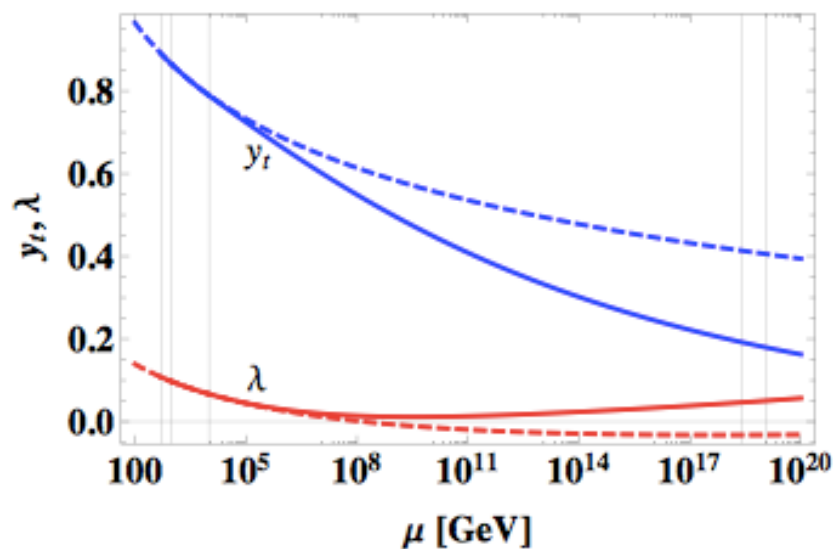
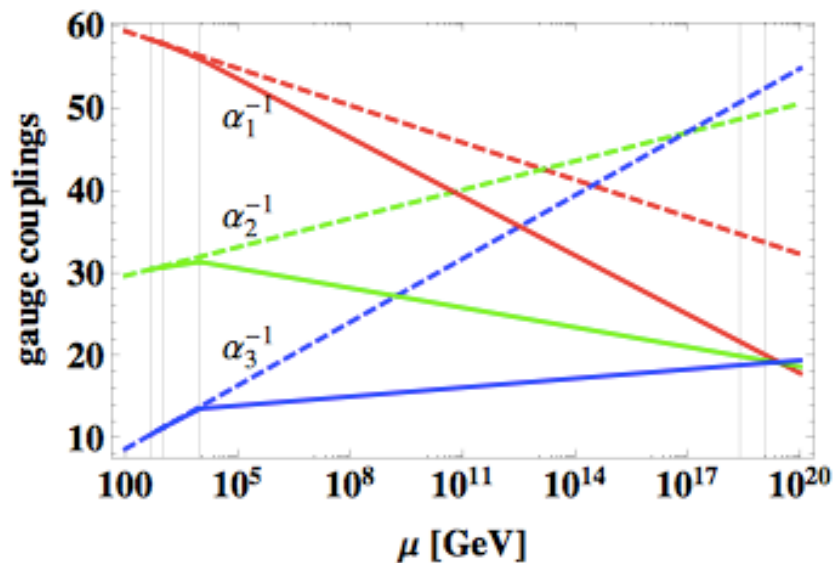
・中間スケールを導入できないので、GUT (< Mp) はどうする？

→ 中間スケールを導入できないので、GUTもMpで起きないとダメだろう。

→ vector-like matters をSMに付け加えて、GUT@Mpを実現する。

→ gauge → 大 → Yukawa → 小

→  $\Lambda$  持ち上がる)



→ vacuum becomes stable

## 126 GeV Higgs

BSM?

SMは $M_{pl}$ にある物理のダイレクトな窓口？(no intermediate scale?)

【研究計画1】 FlatLandシナリオの枠組みで,

→ ・TeV scale seesaw

(inverse seesaw? generation structure?

same sign di-lepton event?  $0\nu\beta\beta$ ? other observations?)

→ ・leptogenesis/bariogenesis?

(resonant leptogenesis? quantum effects? New mechanism...)

$\Lambda(\mu < M_p) \sim 0$  をどうとらえるか？

【その2】

$\mu \sim 10^{10} \text{ GeV}$  に BSM がある。

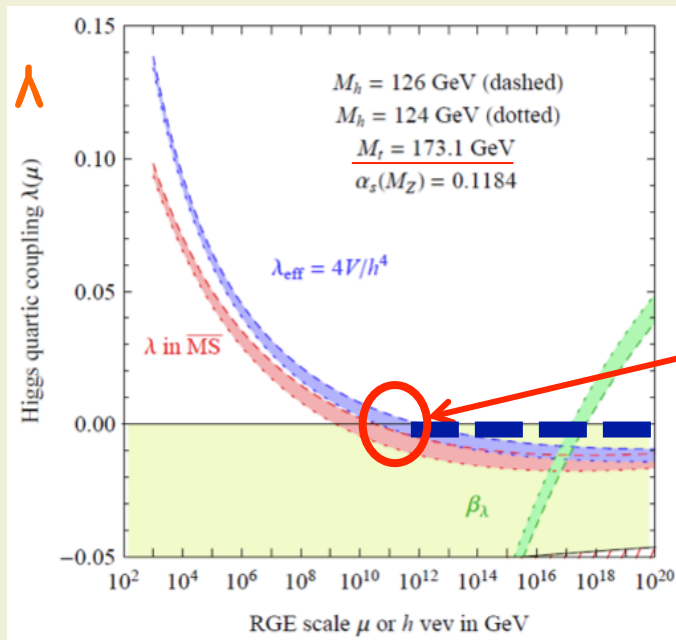
(例) 余剰次元の大きさが,  $10^{10} \text{ GeV}$ 。Higgs はゲージ場に？



# ☆ Higgs=高次元gauge場の余剰次元成分 (Gauge-Higgs Unification)

$$A_M = A_\mu + \mathbf{A}_5 \text{ (scalar @ 4D)}$$

- ゲージ場なので基本的にmassless。(短距離=高エネルギーでゲージ場として復活)
- mass=余剰次元の境界を見る位のスケール (長距離=低エネルギーでスカラー場)
- × loop factor ( $1/16\pi^2$ ) (treeでポテンシャルは無いから) ← 兎に角 finite



SM with top mass (173 GeV)

For this meta-stability, GHU says

**$1/R \sim 10^{10}$  GeV!**

N. Okada, Q. Shafi, et al

G.Degrassi, S.Di Vita, J.Elias-Miro,  
J.R.Espinosa, G.F.Giudice, G.Isidori  
and A.Strumia, JHEP1208 (2012) 098

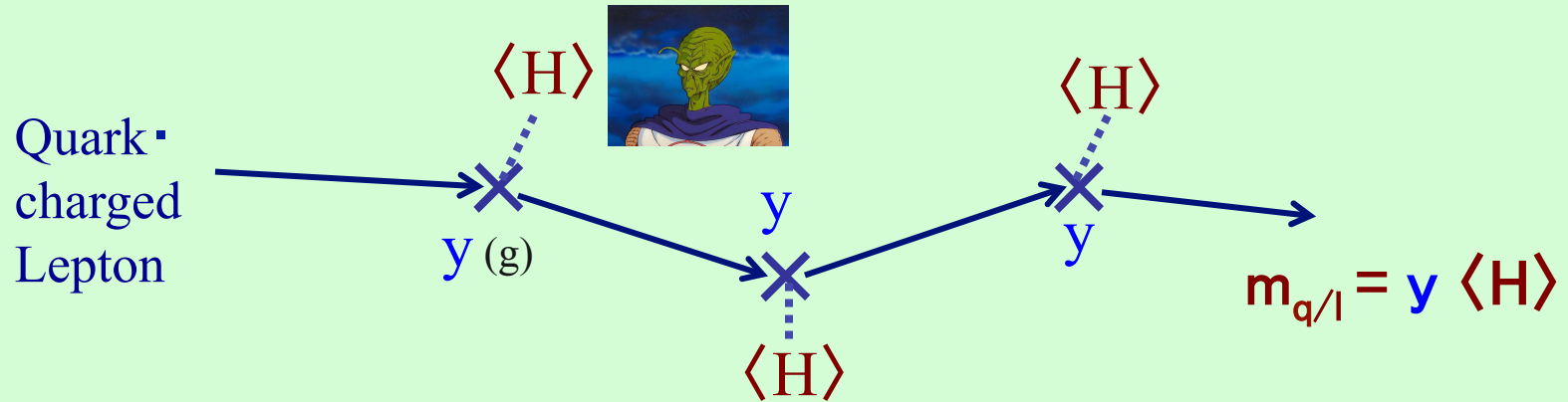
【理論的見地から】

TeVには標準模型を超える  
新しい物理があると考えるの  
が自然

他にも色々考えられないか？

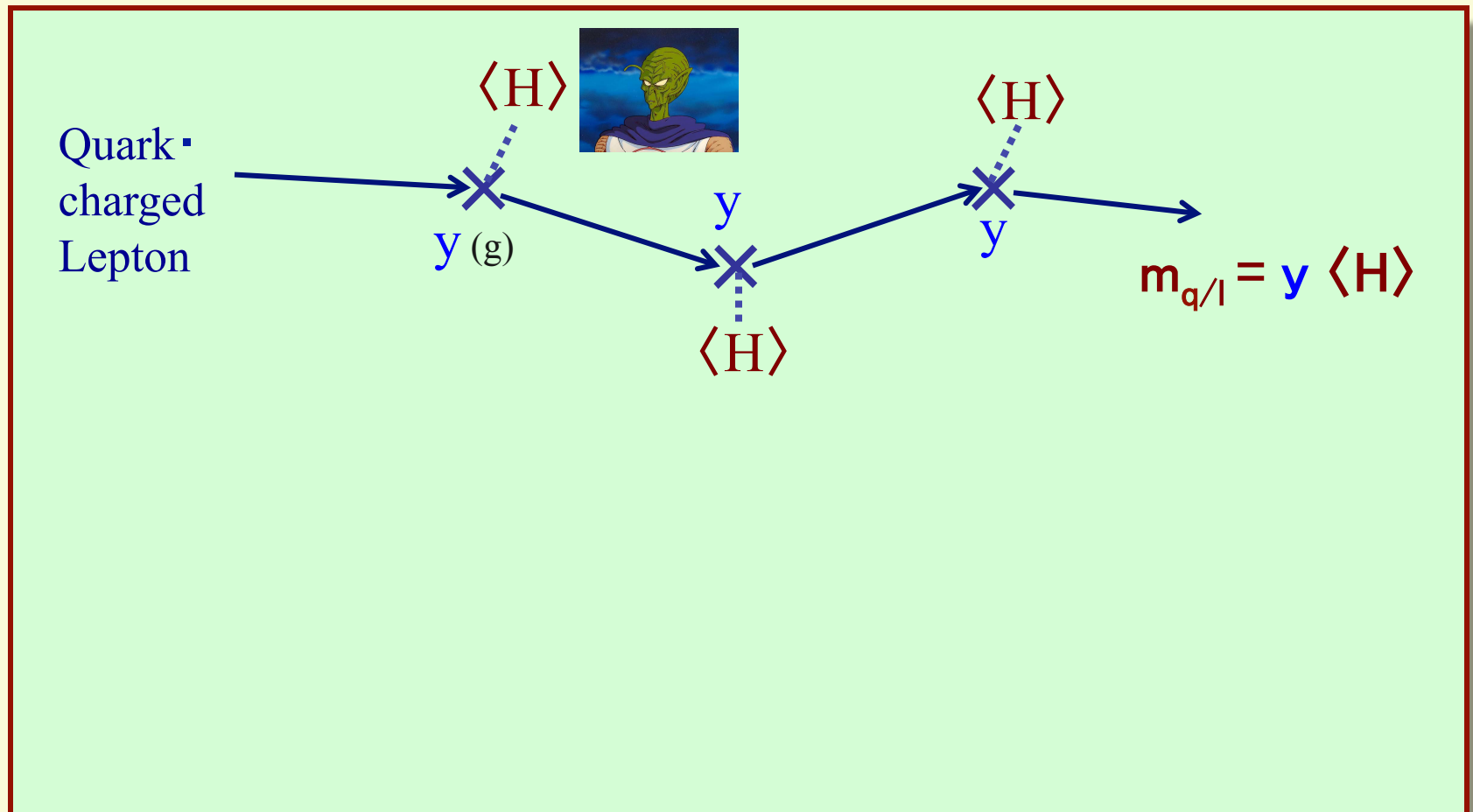
# origin of tiny Dirac $\nu$ mass

mass hierarchy = Yukawa hierarchy ( $y_t \sim 1$ ,  $y_\nu \sim 10^{-12}$ )



# origin of tiny Dirac $\nu$ mass

another possibility: *How about tiny  $\langle H \rangle$  only for  $\nu$ ?*

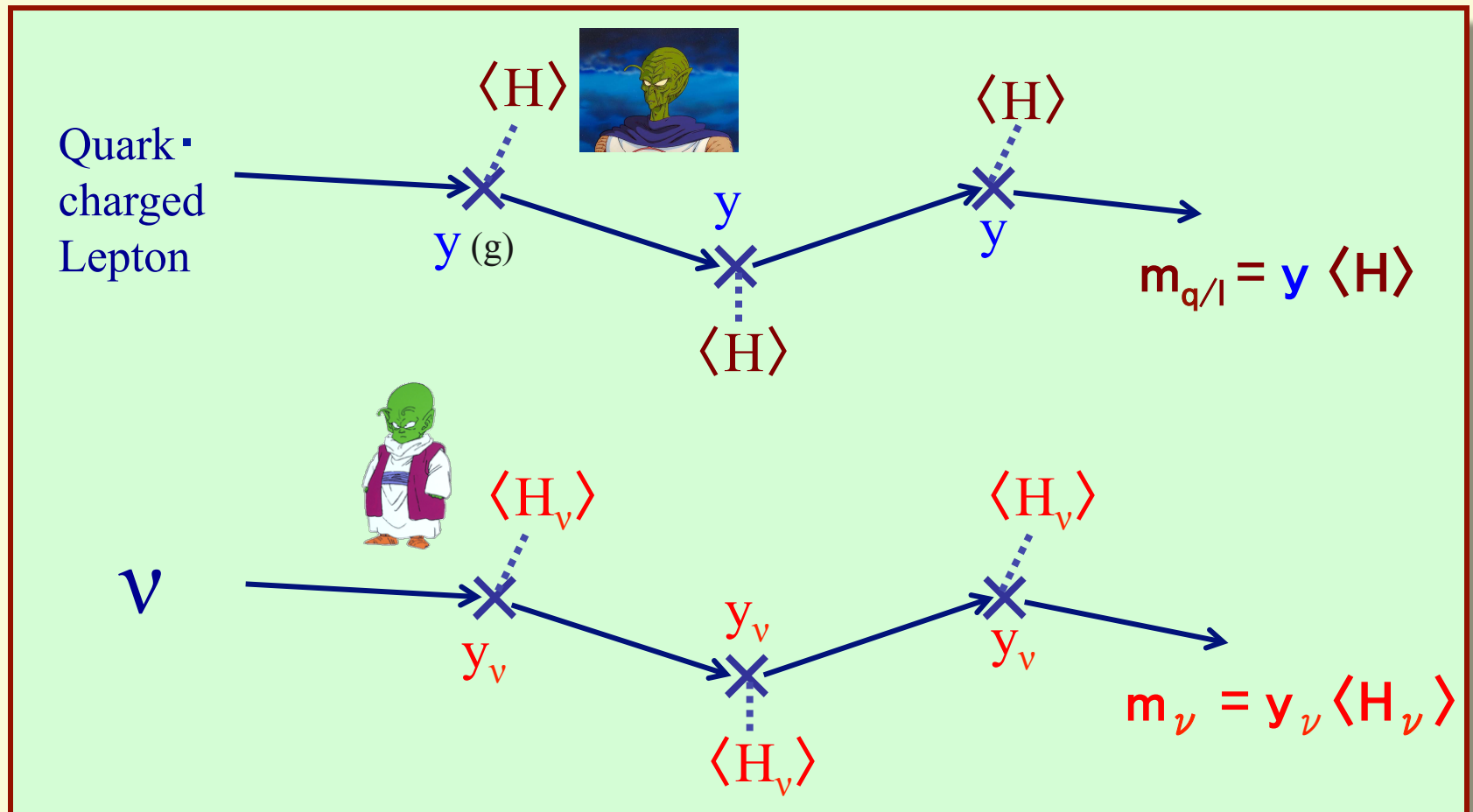




# origin of tiny Dirac $\nu$ mass

## neutrino-philic Higgs

another possibility: *How about tiny  $\langle H \rangle$  only for  $\nu$ ?*



Origin of tiny Dirac  $\nu$  mass

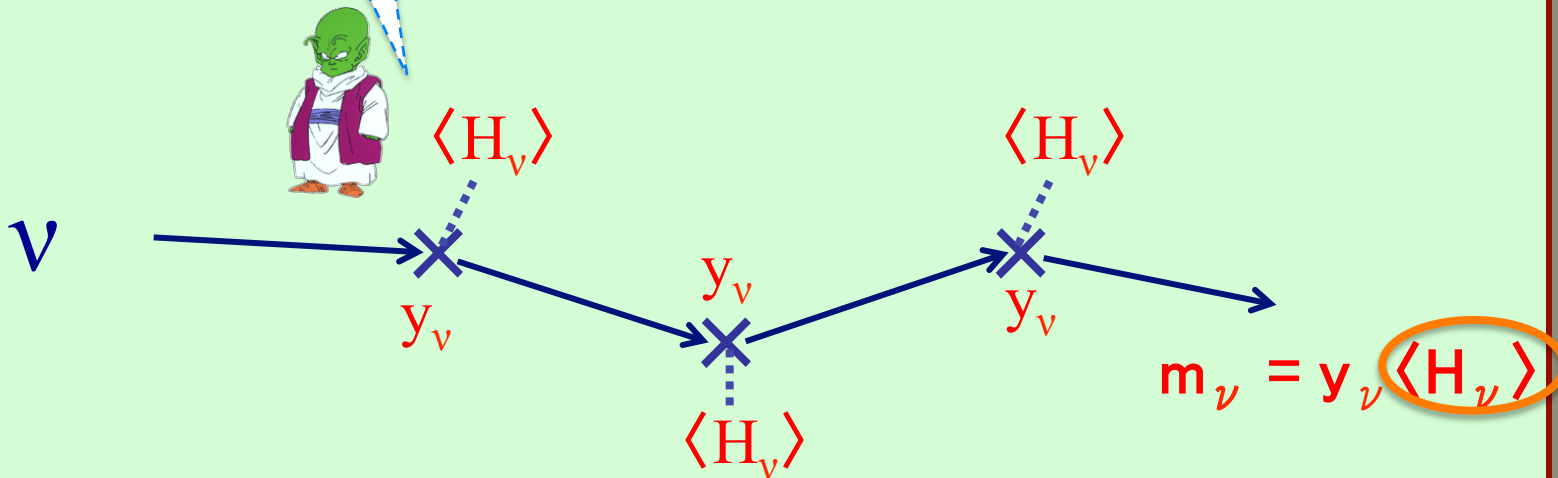
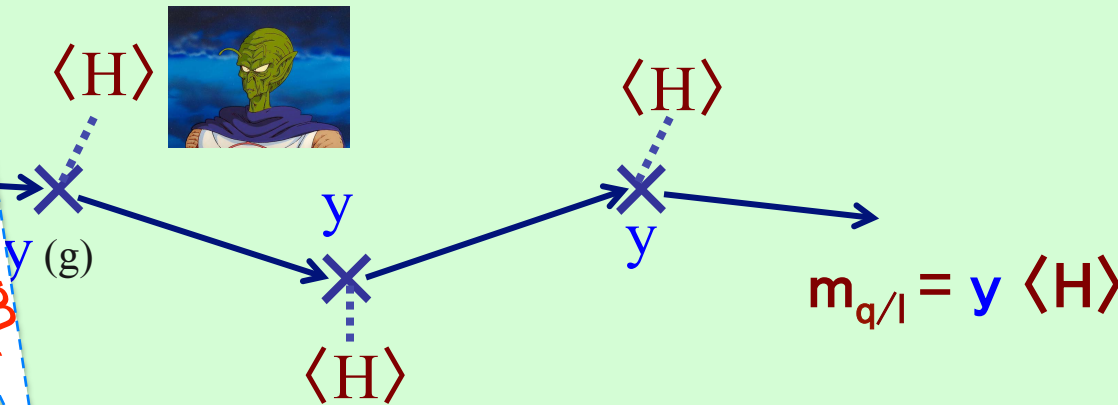
neutrino-philic Higgs

about tiny  $\langle H \rangle$  only for  $\nu$ ?



Origin of tiny  $m_\nu$

Quark  
charged  
Lepton



# origin of tiny Dirac $\nu$ mass

E. Ma (2001, 2006), E. Ma and M. Raidal (2001), N. H. and O. Seto (2010)

F. Wang, W. Wang and J. M. Yang (2006), S. Gabriel and S. Nandi (2007), G. Marshall, M. McCaskey, M. Sher (2010),

## neutrinophilic Higgs

$$L_{Yukawa} = y_u QHU + y_d QHD + y_e LHE + y_\nu LH_\nu V_R$$

$\langle H_\nu \rangle \sim 1 \text{ eV}$

$$L = (\nu_L, e_L)$$

# origin of tiny Dirac $\nu$ mass

E. Ma (2001, 2006), E. Ma and M. Raidal (2001), N. H. and O. Seto (2010)  
 F. Wang, W. Wang and J. M. Yang (2006),  
 S. Gabriel and S. Nandi (2007), G. Marshall,  
 M. McCaskey, M. Sher (2010) ,

## neutrino-philic Higgs

$$L_{Yukawa} = y_u Q H U + y_d Q H D + y_e L H E + y_\nu L H_\nu \nu_R$$

fields	$Z_2$ -charge
SM fields (SM Higgs: <b>H</b> )	+
$\nu_R$	-
$\nu$ Higgs doublet: <b>H<sub><math>\nu</math></sub></b>	-

$\langle H_\nu \rangle \sim 1 \text{ eV}$   
 $L = (\nu_L, e_L)$

distinguishes  
 $H_\nu$  from  $H$



# origin of tiny Dirac $\nu$ mass

E. Ma (2001, 2006), E. Ma and M. Raidal (2001), N. H. and O. Seto (2010)  
 F. Wang, W. Wang and J. M. Yang (2006),  
 S. Gabriel and S. Nandi (2007), G. Marshall,  
 M. McCaskey, M. Sher (2010),

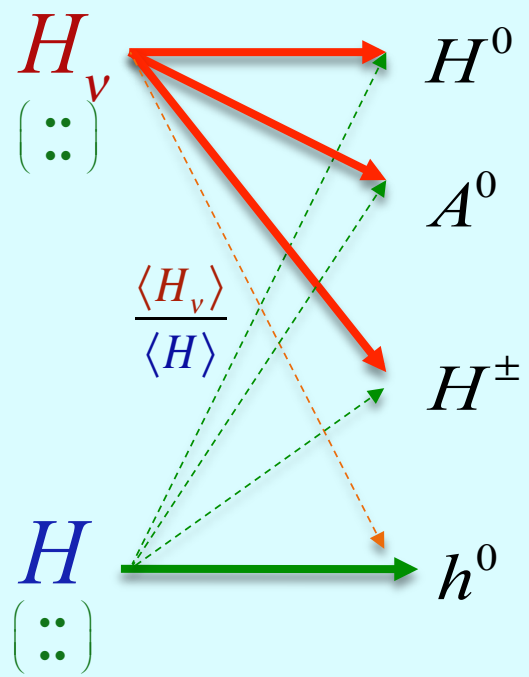
## neutrino-philic Higgs

$$L_{Yukawa} = y_u Q H U + y_d Q H D + y_e L H E + y_\nu L H_\nu \nu_R$$

fields	$Z_2$ -charge
SM fields (SM Higgs: $\mathbf{H}$ )	+
$\nu_R$	-
$\nu$ Higgs doublet: $\mathbf{H}_\nu$	-

$\langle H_\nu \rangle \sim 1 \text{ eV}$   
 $L = (\nu_L, e_L)$

distinguishes  $H_\nu$  from  $H$



Mixings  $\propto$  ratios of VEVs

# origin of tiny Dirac $\nu$ mass

E. Ma (2001, 2006), E. Ma and M. Raidal (2001), N. H. and O. Seto (2010)  
 F. Wang, W. Wang and J. M. Yang (2006),  
 S. Gabriel and S. Nandi (2007), G. Marshall, M. McCaskey, M. Sher (2010),

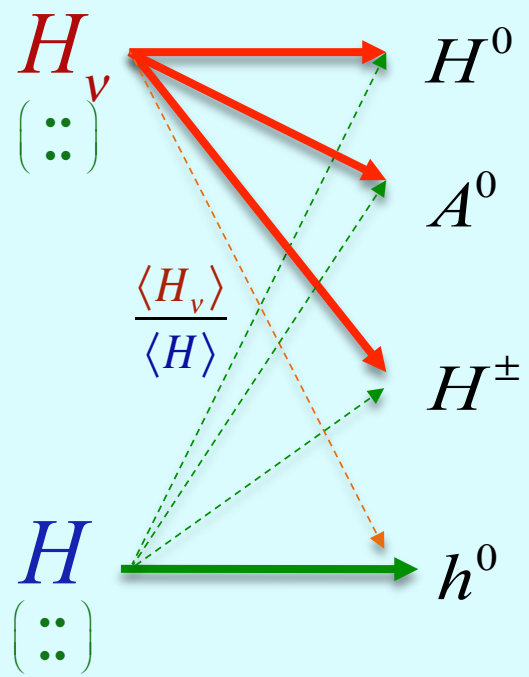
## neutrino-philic Higgs

$$L_{Yukawa} = y_u Q H U + y_d Q H D + y_e L H E + y_\nu L H_\nu \nu_R$$

fields	$Z_2$ -charge
SM fields (SM Higgs: <b>H</b> )	+
$\nu_R$	-
$\nu$ Higgs doublet: <b>H<sub><math>\nu</math></sub></b>	-

$\langle H_\nu \rangle \sim 1 \text{ eV}$   
 $L = (\nu_L, e_L)$

distinguishes  $H_\nu$  from  $H$



Mixings  $\propto$  ratios of VEVs

$H^\pm$  is composed by  $H_\nu$

# origin of tiny Dirac $\nu$ mass

E. Ma (2001, 2006), E. Ma and M. Raidal (2001), N. H. and O. Seto (2010)  
 F. Wang, W. Wang and J. M. Yang (2006),  
 S. Gabriel and S. Nandi (2007), G. Marshall,  
 M. McCaskey, M. Sher (2010),

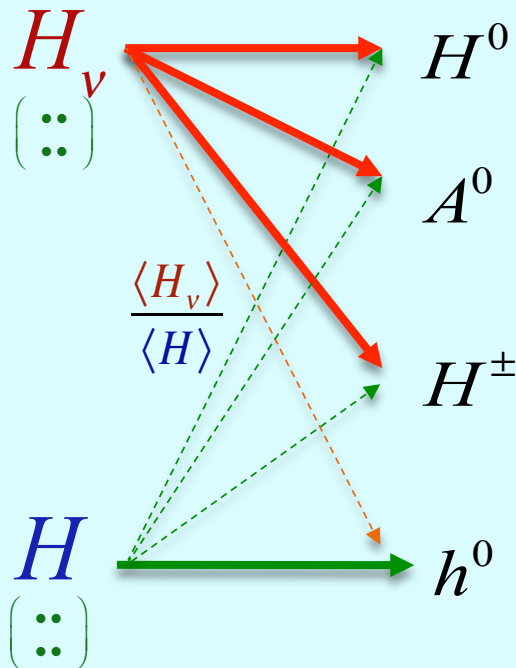
## neutrino-philic Higgs

$$L_{Yukawa} = y_u Q H U + y_d Q H D + y_e L H E + y_\nu L H_\nu \nu_R$$

fields	$Z_2$ -charge
SM fields (SM Higgs: $\mathbf{H}$ )	+
$\nu_R$	-
$\nu$ Higgs doublet: $\mathbf{H}_\nu$	-

$\langle H_\nu \rangle \sim 1 \text{ eV}$   
 $L = (\nu_L, e_L)$

distinguishes  $H_\nu$  from  $H$



Mixings  $\propto$  ratios of VEVs

$H^\pm$  is composed by  $H_\nu$

$\Rightarrow$  non-small & only  $(e, \mu, \tau)_L \times \nu_R$  Yukawa int.



# origin of tiny Dirac $\nu$ mass

E. Ma (2001, 2006), E. Ma and M. Raidal (2001), N. H. and O. Seto (2010)  
 F. Wang, W. Wang and J. M. Yang (2006),  
 S. Gabriel and S. Nandi (2007), G. Marshall,  
 M. McCaskey, M. Sher (2010),

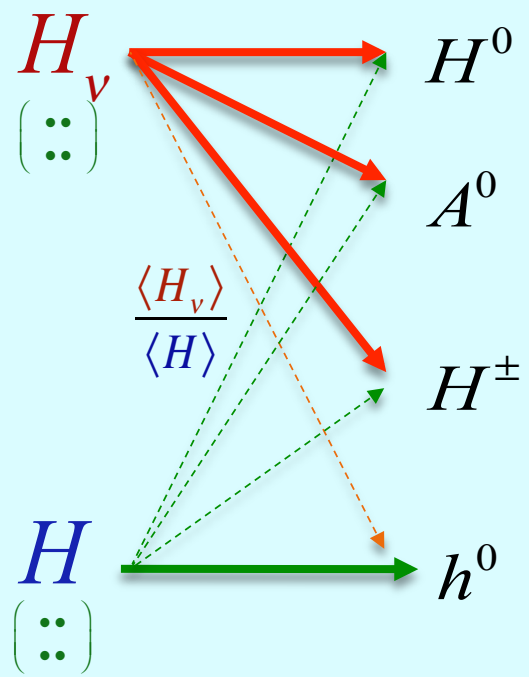
## neutrino-philic Higgs

$$L_{Yukawa} = y_u Q H U + y_d Q H D + y_e L H E + y_\nu L H_\nu \nu_R$$

fields	Z <sub>2</sub> -charge
SM fields (SM Higgs: <b>H</b> )	+
$\nu_R$	-
$\nu$ Higgs doublet: <b>H<sub>ν</sub></b>	-

$\langle H_\nu \rangle \sim 1 \text{ eV}$   
 $L = (\nu_L, e_L)$

distinguishes  $H_\nu$  from  $H$



Mixings  $\propto$  ratios of VEVs

$H^\pm$  is composed by  $H_\nu$

$\Rightarrow$  non-small & only  $(e, \mu, \tau)_L \times \nu_R$  Yukawa int.

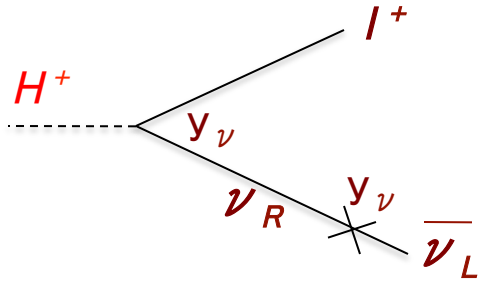
$\rightarrow$  charged Higgs mainly decays into lepton, etc

(phenomenology @ LHC, ILC) S. M. Davidson and H. E. Logan (2009, 2010),  
 N. H. and K. Tsumura (2010),



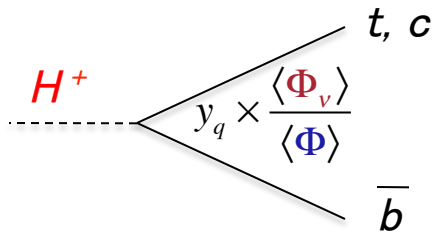
# LHC, ILC phenomenology

$m_{H^\pm} < m_{\nu R}$



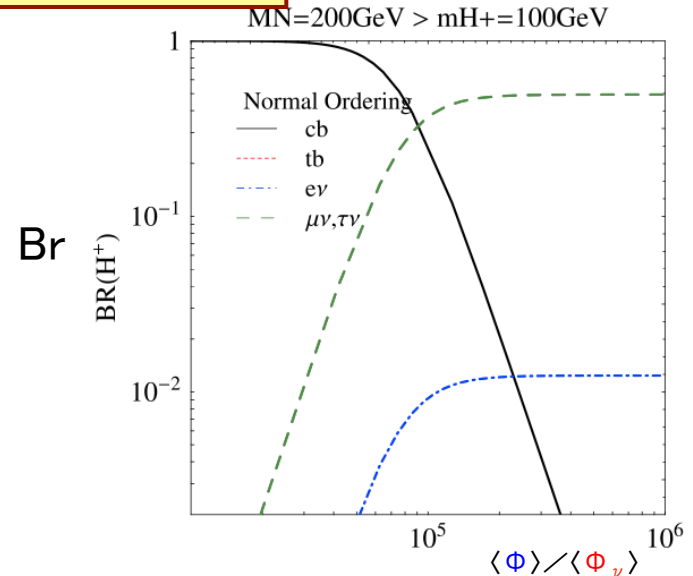
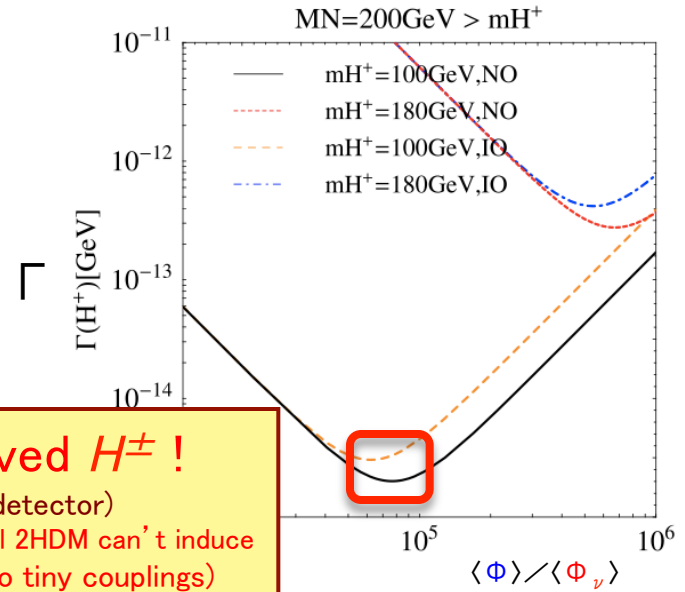
$$\Gamma(H^\pm \rightarrow l^\pm \nu_L) \sim G_F m_{H^\pm} m_\nu^2 \frac{\langle \Phi \rangle^2}{\langle \Phi_\nu \rangle^2}$$

or



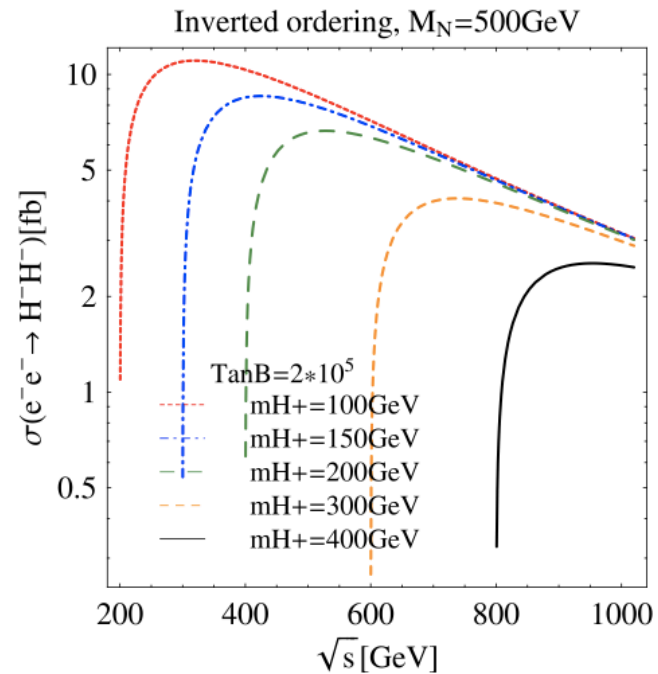
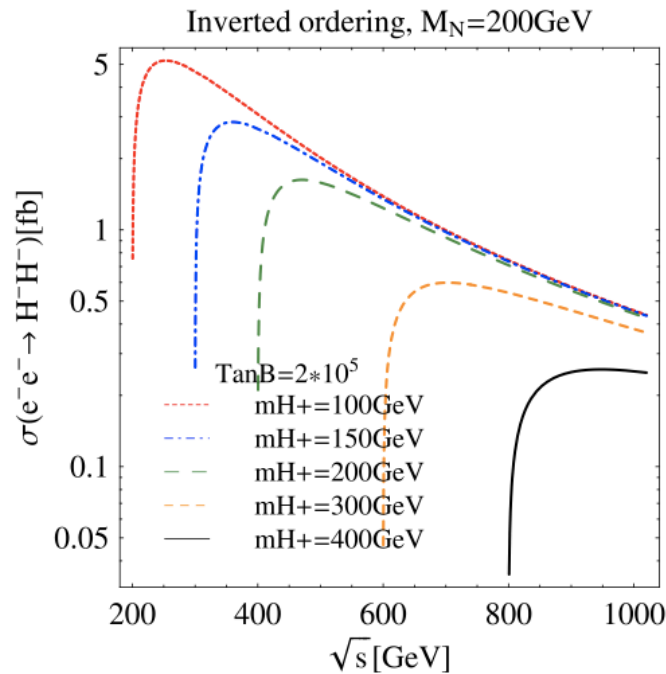
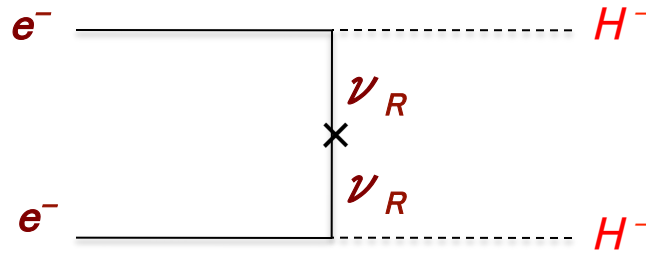
$$\Gamma(H^\pm \rightarrow q\bar{q}) \sim m_{H^\pm} y_q^2 \frac{\langle \Phi_\nu \rangle^2}{\langle \Phi \rangle^2}$$

**long lived  $H^\pm$  !**  
 (10cm in detector)  
 Conventional 2HDM can't induce  
 (due to no tiny couplings)





☆ILC:  $e^-e^-$  collider:

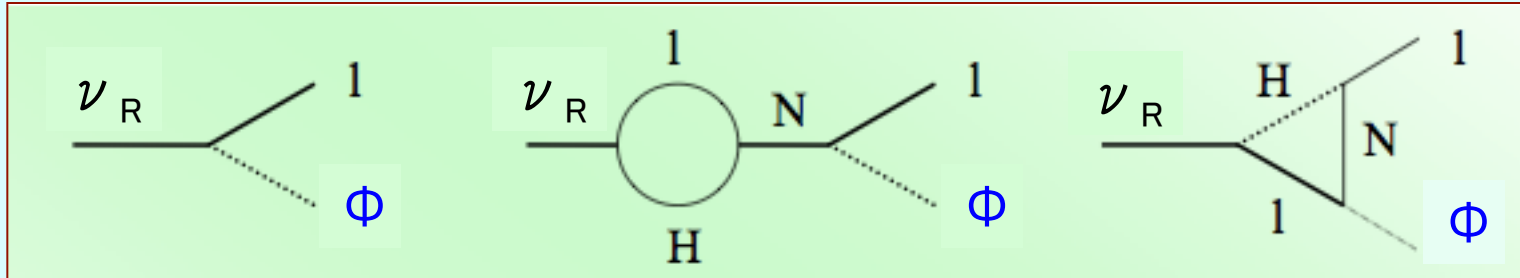


Total cross sections of  $e^-e^- \rightarrow H^-H^-$  in  $\nu$  THDM with  $\nu_R$ , whose mass is  $M_{\nu_R} = 200$  GeV and 500 GeV.

# Low energy thermal leptogenesis

NH, O.Seto, Prog.Theor.Phys. 125, 1155 (2011); Phys. Rev. D84, 103524 (2011).

leptogenesis:  $\Gamma(\nu_R \rightarrow l + \Phi) \neq \Gamma(\bar{\nu}_R \rightarrow l + \Phi^*) \leftarrow$  CP violation



## Conventional See-Saw (type-I)

$$\begin{aligned} \varepsilon &\equiv \frac{\Gamma(\nu_{R1} \rightarrow \Phi + \bar{l}_j) - \Gamma(\nu_{R1} \rightarrow \Phi^* + l_j)}{\Gamma(\nu_{R1} \rightarrow \Phi + \bar{l}_j) + \Gamma(\nu_{R1} \rightarrow \Phi^* + l_j)} \\ &\simeq -\frac{3}{8\pi} \frac{1}{(y_\nu y_\nu^\dagger)_{11}} \sum_{i=2,3} \text{Im}(y_\nu y_\nu^\dagger)_{1i}^2 \frac{M_1}{M_i}, \quad (M_i \gg M_1) \\ &\simeq \frac{3}{8\pi} \frac{M_1 m_{\nu 3}}{\langle \Phi \rangle^2} \sin \delta \simeq 10^{-6} \left( \frac{M_1}{10^{10} \text{ GeV}} \right) \left( \frac{m_{\nu 3}}{0.05 \text{ eV}} \right) \sin \delta \end{aligned}$$

$$\frac{n_b}{s} \simeq C \kappa \frac{\varepsilon}{g_*} \quad \varepsilon \sim 10^{-7} \text{ for suitable } n_b/s$$

thermal:  $T_R > M_1$ ,  $\nu_{R1}$  is produced in thermal

$M_1 > 10^9 \text{ GeV}$  : Davidson-Ibarra bound

S. Davidson and A. Ibarra, PLB 535, 25 (2002)

**TeV-scale thermal leptogenesis is difficult !**

$\nu$  HDM: non-small  $y_\nu$  with TeV-scale Majorana mass

$$\varepsilon \simeq -\frac{3}{8\pi} \frac{1}{(y_\nu y_\nu^\dagger)_{11}} \sum_{i=2,3} \text{Im}(y_\nu y_\nu^\dagger)_{1i}^2 \frac{M_1}{M_i} \simeq -\frac{3}{8\pi} \frac{M_1 m_{\nu 3}}{\langle \Phi_\nu \rangle^2} \sin \delta$$

$$\simeq -\frac{3}{16\pi} 10^{-6} \left( \frac{0.1 \text{ GeV}}{\langle \Phi_\nu \rangle} \right)^2 \left( \frac{M_1}{100 \text{ GeV}} \right) \left( \frac{m_\nu}{0.05 \text{ eV}} \right) \sin \delta$$

$$\frac{n_b}{s} \simeq C \kappa \frac{\varepsilon}{g_*} \quad M_1 \geq 5 \text{ TeV is possible for thermal leptogenesis}$$

$$0.1 \text{ eV} \sim y^2 \langle \Phi \rangle^2 / M_R$$

↑  
大  
↓  
大

$\nu$  HDM: non-small  $y_\nu$  with TeV-scale Majorana mass

$$\begin{aligned}\varepsilon &\simeq -\frac{3}{8\pi} \frac{1}{(y_\nu y_\nu^\dagger)_{11}} \sum_{i=2,3} \text{Im}(y_\nu y_\nu^\dagger)_{1i}^2 \frac{M_1}{M_i} \simeq -\frac{3}{8\pi} \frac{M_1 m_{\nu 3}}{\langle \Phi_\nu \rangle^2} \sin \delta \\ &\simeq -\frac{3}{16\pi} 10^{-6} \left( \frac{0.1 \text{ GeV}}{\langle \Phi_\nu \rangle} \right)^2 \left( \frac{M_1}{100 \text{ GeV}} \right) \left( \frac{m_\nu}{0.05 \text{ eV}} \right) \sin \delta\end{aligned}$$

$$\frac{n_b}{s} \simeq C \kappa \frac{\varepsilon}{g_*}$$

$M_1 \geq 5 \text{ TeV}$  is possible for thermal leptogenesis

$$0.1 \text{ eV} \sim y^2 \langle \Phi_\nu \rangle^2 / M_R$$

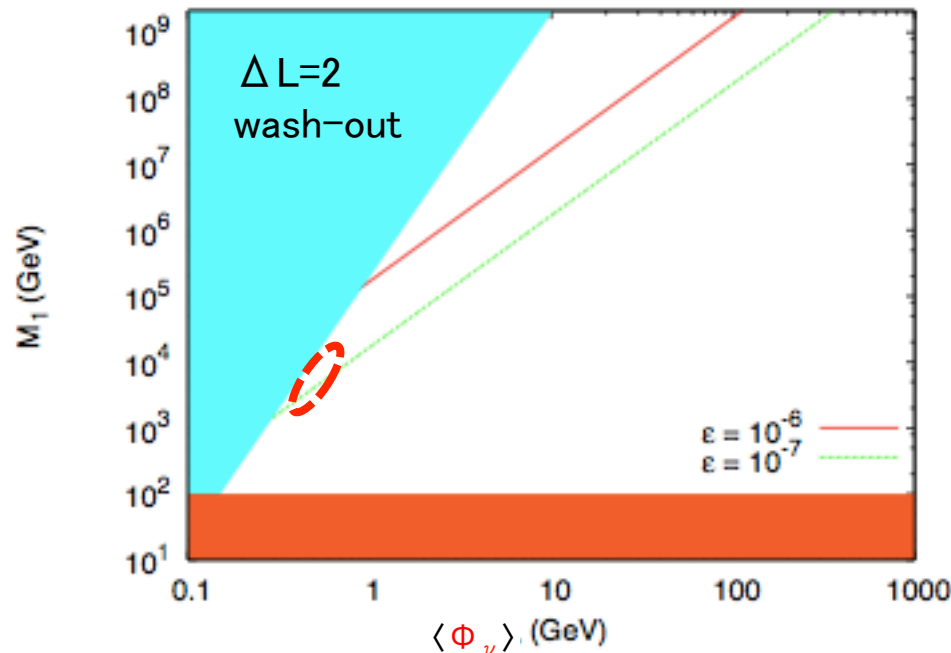
↑   ↑   ↓  
大   小   小

$\nu$  HDM: non-small  $y_\nu$  with TeV-scale Majorana mass

$$\varepsilon \approx -\frac{3}{8\pi} \frac{1}{(y_\nu y_\nu^\dagger)_{11}} \sum_{i=2,3} \text{Im}(y_\nu y_\nu^\dagger)_{1i}^2 \frac{M_1}{M_i} \approx -\frac{3}{8\pi} \frac{M_1 m_{\nu 3}}{\langle \Phi_\nu \rangle^2} \sin \delta$$

$$\approx -\frac{3}{16\pi} 10^{-6} \left( \frac{0.1 \text{ GeV}}{\langle \Phi_\nu \rangle} \right)^2 \left( \frac{M_1}{100 \text{ GeV}} \right) \left( \frac{m_\nu}{0.05 \text{ eV}} \right) \sin \delta$$

$$\frac{n_b}{s} \approx C \kappa \frac{\varepsilon}{g_*} \quad M_1 \geq 5 \text{ TeV is possible for thermal leptogenesis}$$



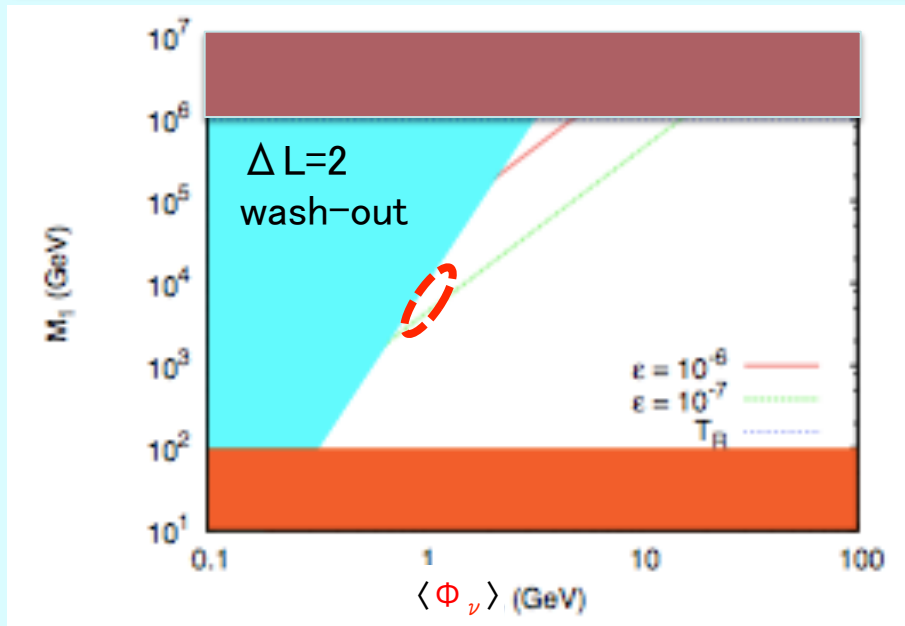
Leptogenesis in SUSY  $\nu$  HDM: non-small  $y_\nu$  with TeV-scale Majorana mass

$$\varepsilon \equiv \varepsilon(\nu_R \rightarrow lH) + \varepsilon(\nu_R \rightarrow \tilde{l}\tilde{H}) + \varepsilon(\tilde{\nu}_R \rightarrow l\tilde{H}) + \varepsilon(\tilde{\nu}_R \rightarrow \tilde{l}H)$$

$$\simeq -\frac{3}{16\pi} 10^{-5} \left( \frac{0.1 \text{ GeV}}{\langle \Phi_\nu \rangle} \right)^2 \left( \frac{M_1}{10^3 \text{ GeV}} \right) \left( \frac{m_\nu}{0.05 \text{ eV}} \right) \sin \delta$$

$$\frac{n_b}{s} \simeq C_K \frac{\varepsilon}{g_*} \quad (\text{NH, } m_1 \sim 0, (y_{i1} \ll y_{i2}, y_{i3}))$$

$M_1 \geq 5 \text{ TeV}$  is possible for thermal leptogenesis



↑ gravitino problem

SUSY  $\nu$  HDM is free from gravitino problem

- O(100) GeV gravitino with no-disturbing BBN needs  $T_R < 10^6 \text{ GeV}$ .
- even this  $T_R$ ,  $N_1$  is thermally produced in our setup.



## 【研究計画2】

neutrino-philic Higgs は, FlatLand scenario でうまくいくか？

# 【研究計画3】

## • flavor symmetry:

tri-bi-maximal mixing [ $\sin^2 \theta_{12}=1/3, \sin^2 \theta_{23}=1/2$ ] + deviation, seems good

-> find flavor symmetry ( $S_3, S_4, A_4, \dots$ )

-> phenomenology

ex)  $\nu$  mass sum rule

Sum Rule	Group
$\tilde{m}_1 + \tilde{m}_2 = \tilde{m}_3$	$A_4$ [167] ([175, 178, 181]); $S_4$ ([182]); $A_5$ [69]*
$\tilde{m}_1 + \tilde{m}_2 = \tilde{m}_3$	$\Delta$ (54) [183]; $S_4$ ([163])
$\tilde{m}_1 + 2\tilde{m}_2 = \tilde{m}_3$	$S_4$ [120]
$2\tilde{m}_2 + \tilde{m}_3 = \tilde{m}_1$	$A_4$ [165, 167] ([36, 37, 178, 181, 188, 194]) $S_4$ ([45, 124]) <sup>†</sup> ; $T'$ [195, 196] ([46, 134, 197, 198]); $T_7$ ([199])
$2\tilde{m}_2 + \tilde{m}_3 = \tilde{m}_1$	$A_4$ ([200])
$\tilde{m}_1 + \tilde{m}_2 = 2\tilde{m}_3$	$S_4$ [201] <sup>‡</sup>
$\tilde{m}_1 + \tilde{m}_2 = 2\tilde{m}_3$	$L_e - L_\mu - L_\tau$ ([202])
$\tilde{m}_1 + \frac{\sqrt{3}+1}{2}\tilde{m}_3 = \frac{\sqrt{3}-1}{2}\tilde{m}_2$	$A_5'$ ([203])
$\tilde{m}_1^{-1} + \tilde{m}_2^{-1} = \tilde{m}_3^{-1}$	$A_4$ [167]; $S_4$ ([163, 175]); $A_5$ [176, 177]
$\tilde{m}_1^{-1} + \tilde{m}_2^{-1} = \tilde{m}_3^{-1}$	$S_4$ ([163])
$2\tilde{m}_2^{-1} + \tilde{m}_3^{-1} = \tilde{m}_1^{-1}$	$A_4$ [135, 164, 165, 167, 204] ([37, 137, 145, 205, 211]); $T'$ [196]
$\tilde{m}_1^{-1} + \tilde{m}_3^{-1} = 2\tilde{m}_2^{-1}$	$A_4$ ([212, 214]); $T'$ [215]
$\tilde{m}_3^{-1} \pm 2i\tilde{m}_2^{-1} = \tilde{m}_1^{-1}$	$\Delta$ (96) [66]
$\tilde{m}_1^{1/2} - \tilde{m}_3^{1/2} = 2\tilde{m}_2^{1/2}$	$A_4$ ([162])
$\tilde{m}_1^{1/2} + \tilde{m}_3^{1/2} = 2\tilde{m}_2^{1/2}$	$A_4$ ([216])
$\tilde{m}_1^{-1/2} + \tilde{m}_2^{-1/2} = 2\tilde{m}_3^{-1/2}$	$S_4$ [217]

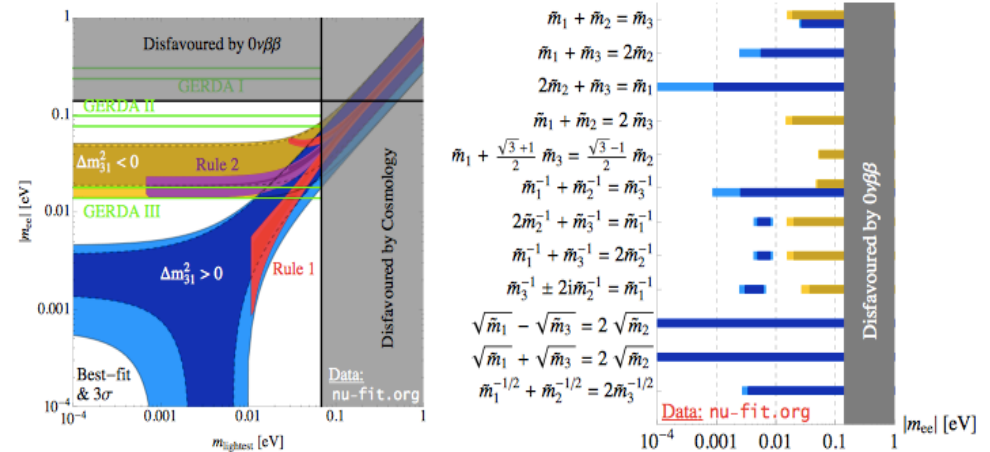


Figure 7: *Left panel:* Restrictions imposed on the allowed regions of  $|m_{ee}|$  by two example sum rules (Rule 1:  $\tilde{m}_1^{-1} + \tilde{m}_2^{-1} = \tilde{m}_3^{-1}$ , Rule 2:  $\tilde{m}_1 + \tilde{m}_2 = \tilde{m}_3$ ). The GERDA regions are displayed as examples for realistic experimentally accessible ranges. (Plot similar to Fig. 1 in Ref. [169].) *Right panel:* Derived ranges for the  $|m_{ee}|$  from 12 different sum rules, covering more than 50 models in the literature. (Plot similar to Fig. 20 in Ref. [169].)

# summary of research plan

【研究計画1】 FlatLandシナリオの枠組みで,

- ・TeV scale seesaw  
(inverse seesaw? generation structure?  
same sign di-lepton event?  $0\nu\beta\beta$ ? other observations?)
- ・leptogenesis/bariogenesis?  
(resonant leptogenesis? quantum effects? New mechanism...)

【研究計画2】 neutrinophilic Higgs in FlatLandシナリオ

【研究計画3】 neutrinoからflavor symmetryを探る

For a goal  
(discover BSM),



strong cooperation between  
experiment & theory is needed.



$\Lambda(\mu < M_{\text{p}}) \sim 0$  をどうとらえるか？

【その2】

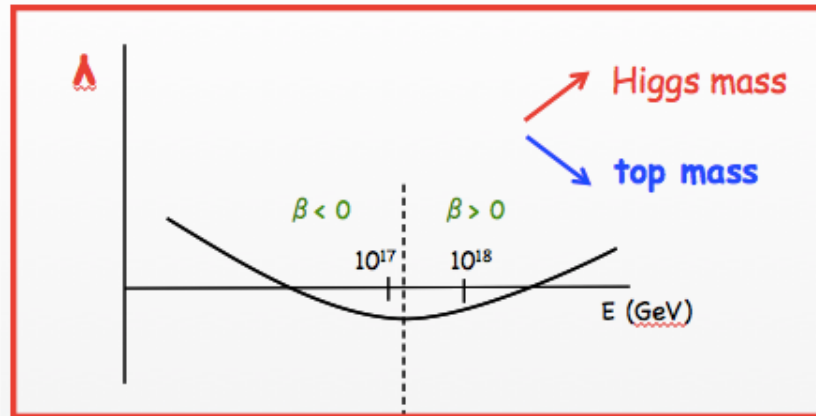
EWの真空と $M_{\text{p}}$ の真空が縮退してる？

入れ忘れてる効果があって、本当は $10^{10}$  GeVで負にはならないのだ。



$m_H = 125.9 \pm 0.4 \text{ GeV}$ ,  $m_{\text{top}} = 172.58 \sim 174.10 \text{ GeV}$  in the SM

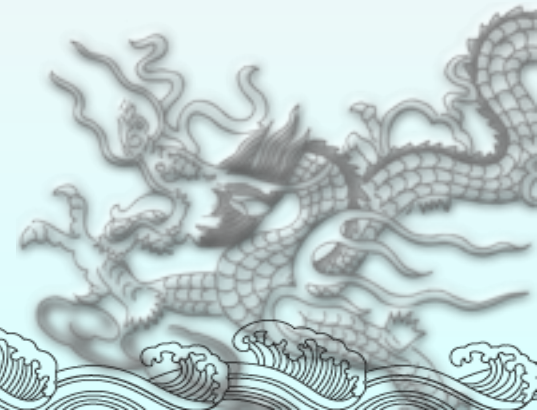
$$(4\pi)^2 \frac{d\lambda}{dt} = \underline{24\lambda^2} + 12\lambda y_t^2 - \underline{6y_t^4} - 3\lambda(g'^2 + 3g^2) + \frac{3}{8}[2g^4 + (g'^2 + g^2)^2]$$



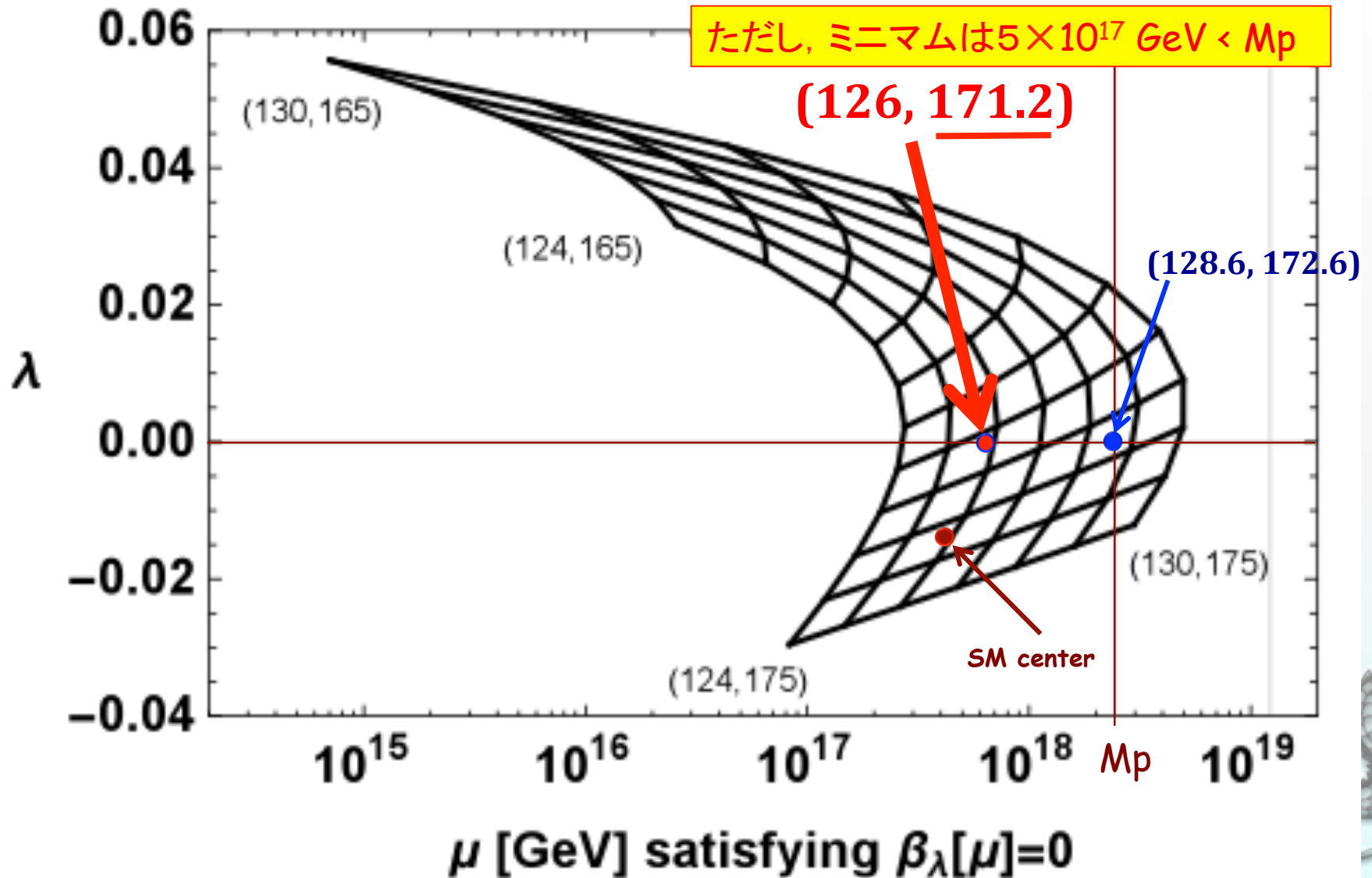
本当は, **stable** (持ち上がってるん) じゃない?  
どういう時, 持ち上がる (**stable** になる) か?

1. **top** が実はもう少し軽い?
2. **scalar** を入れる。
3. **vector** を入れる。
4. **gravity** の効果?
5. **gauge** の **running** がもっと強い?

.....



# Higgs mass & top mass dependence for $\lambda$ , $\beta$



Higgs mass & top mass are uniquely determined by MPCP @  $M_p$